



# La isla de calor urbana de superficie y sus factores condicionantes: El caso del área metropolitana de Santiago

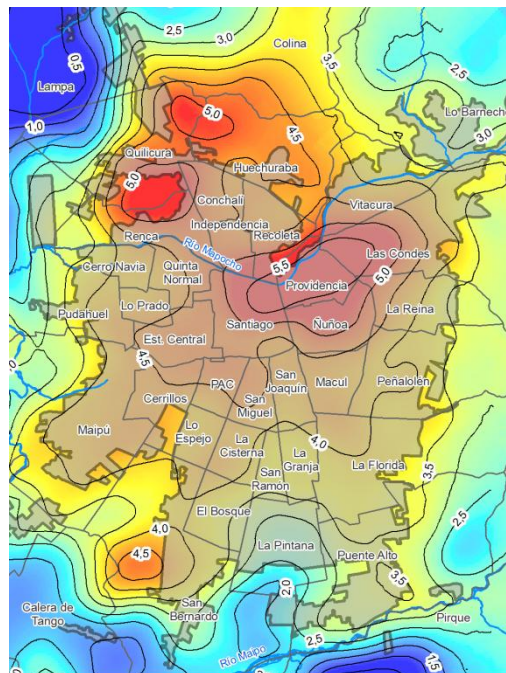
Pablo Sarricolea Espinoza

**ADVERTIMENT.** La consulta d'aquesta tesi queda condicionada a l'acceptació de les següents condicions d'ús: La difusió d'aquesta tesi per mitjà del servei TDX ([www.tdx.cat](http://www.tdx.cat)) ha estat autoritzada pels titulars dels drets de propietat intel·lectual únicament per a usos privats emmarcats en activitats d'investigació i docència. No s'autoritza la seva reproducció amb finalitats de lucre ni la seva difusió i posada a disposició des d'un lloc aliè al servei TDX. No s'autoritza la presentació del seu contingut en una finestra o marc aliè a TDX (framing). Aquesta reserva de drets afecta tant al resum de presentació de la tesi com als seus continguts. En la utilització o cita de parts de la tesi és obligat indicar el nom de la persona autora.

**ADVERTENCIA.** La consulta de esta tesis queda condicionada a la aceptación de las siguientes condiciones de uso: La difusión de esta tesis por medio del servicio TDR ([www.tdx.cat](http://www.tdx.cat)) ha sido autorizada por los titulares de los derechos de propiedad intelectual únicamente para usos privados enmarcados en actividades de investigación y docencia. No se autoriza su reproducción con finalidades de lucro ni su difusión y puesta a disposición desde un sitio ajeno al servicio TDR. No se autoriza la presentación de su contenido en una ventana o marco ajeno a TDR (framing). Esta reserva de derechos afecta tanto al resumen de presentación de la tesis como a sus contenidos. En la utilización o cita de partes de la tesis es obligado indicar el nombre de la persona autora.

**WARNING.** On having consulted this thesis you're accepting the following use conditions: Spreading this thesis by the TDX ([www.tdx.cat](http://www.tdx.cat)) service has been authorized by the titular of the intellectual property rights only for private uses placed in investigation and teaching activities. Reproduction with lucrative aims is not authorized neither its spreading and availability from a site foreign to the TDX service. Introducing its content in a window or frame foreign to the TDX service is not authorized (framing). This rights affect to the presentation summary of the thesis as well as to its contents. In the using or citation of parts of the thesis it's obliged to indicate the name of the author.

# La isla de calor urbana de superficie y sus factores condicionantes: El caso del área metropolitana de Santiago



Memoria presentada por  
**Pablo Sarricolea Espinoza**  
para optar al grado de Doctor

Director de tesis: Dr. Javier Martín-Vide

Barcelona-España, Julio 2012



## *Capítulo 4*

La Isla de Calor Urbana de  
Superficie del AMS con  
Imágenes Terra MODIS





## *LA ISLA DE CALOR URBANA DE SUPERFICIE DEL AMS CON IMÁGENES TERRA MODIS*

### *4.1. Resumen*

Se ha sintetizado la información de las temperaturas de emisión superficial obtenidas mediante imágenes del satélite Terra MODIS<sup>1</sup>, aplicando para ello promedios anuales y estacionales de las temperaturas estandarizadas, y reducción de las imágenes a factores complejos de los patrones espaciales usando Análisis de Componentes Principales (ACP); finalmente, se han realizado mapas de diferencias térmicas para conocer la intensidad de la isla de calor urbana de superficie (ICUs) estacional y anual. Los resultados muestran que la isla de calor tiende a localizar el máximo térmico en las comunas de Santiago, Providencia, Las Condes, Ñuñoa y Vitacura, conformando un núcleo cálido asociado a la mayor densidad construida; además, las comunas de Huechuraba y Quilicura conforman otro núcleo cálido, el que está asociado a viviendas de alto nivel de ingresos en el primer caso e industrias en el caso de Quilicura. El ACP revela cuatro patrones típicos, que explican el 90,6% de las situaciones, a saber: ICUs consolidada (44,5%), ICUs del piedmont y cuña de altos ingresos (22,3%), un tipo sin isla de calor urbana (20,2%) e ICUs más intensa al sur (3,6%). Finalmente, la intensidad de la isla de calor urbana de superficie es de mayor magnitud durante el otoño (7,4°C), seguida de verano (5,9°C), primavera (5,4°C) e invierno (5,0°C); incluso en verano y otoño supera los 7°C en la zona oriente de la ciudad. De las situaciones sin isla de calor, se ha sugerido la hipótesis de efecto sumidero de calor o «*urban heat sink*», asociado a fuerte brisa de la Cordillera de Los Andes, que barre la ICUs y la desplaza al poniente de la ciudad, lo que en días de

---

<sup>1</sup> El análisis de dichas imágenes se recoge en el Anexo 1 de esta Tesis

contaminación por material particulado (PM10) tendría efectos nocivos sobre la salud de la población de esa parte de la ciudad.

#### ***4.2. Introducción***

La temperatura superficial es de vital importancia en los estudios de Climatología urbana. Ella, al decir de Voogt y Oke (2003), condiciona y modula la temperatura del aire en las capas más bajas de la atmósfera urbana. Además, es fundamental para estimar los balances energéticos, determinar las condiciones bioclimáticas en el interior de los edificios, y, también, los intercambios térmicos con el entorno, que afectan al *confort* de los habitantes de la ciudad.

Para obtener la temperatura superficial se utiliza esencialmente sensores remotos, los cuales registran los valores de temperatura de emisión de las cubiertas de suelo a vista de ojo de pájaro (Oke y Voogt, 1997), permitiendo así conocer su distribución espacial y, en las áreas urbanas, estimar la isla de calor urbana de superficie (ICUs, homologa a la ICU del aire). Cabe recordar, que la ICUs ha sido estudiada desde el advenimiento de la teledetección, a mediados del siglo XX.

La teledetección ha ampliado las oportunidades en los estudios de Climatología urbana, y también ha significado introducir nuevos conceptos (Voogt y Oke, 2003). Existe un gran número de sensores remotos útiles para el estudio de la ICUs, tales como Landsat TM y ETM+<sup>2</sup>, NOAA AVHRR, Terra ASTER y Terra MODIS. Los sensores Terra han avanzado más que los demás, pues han suministrado a los investigadores las librerías de emisividad de las diferentes cubiertas terrestres. Además, en el caso de Terra MODIS se poseen subproductos específicos corregidos para el estudio de la temperatura de superficie y su frecuencia de registro es diaria.

---

<sup>2</sup> El radiómetro térmico de Landsat ETM+ funcionó entre 1999 y septiembre de 2003

Las mediciones tradicionales de la isla de calor, como hemos mencionado en capítulos anteriores, han sido mediante pares de estaciones meteorológicas que representan las áreas urbana y rural (Kukla *et al.*, 1986; Karl *et al.*, 1988), o bien, mediante el método de los transectos (Johnson, 1985; Torok *et al.*, 2001). No obstante, existe escasa información de la configuración espacial de las temperaturas en las ciudades, lo cual implica un desafío en cuanto a poseer una mayor cobertura y resolución de las temperaturas urbanas. Es por ello que los estudios de Climatología urbana a alta resolución (espacial) son escasos, y referidos casi en exclusiva a las temperaturas superficiales, es decir, a la ICUs (Streutker, 2003).

Las temperaturas de la superficie son más fáciles de obtener, principalmente por la disponibilidad de productos tales como Terra MODIS, que provee la temperatura de la superficie de la tierra (*Land Surface Temperature, LST*). Es importante señalar que la relación entre la temperatura del aire y de la superficie no está completamente consensuada, y hay mucha discusión sobre ello. Así, por citar casos extremos, están aquellos que señalan la estrecha y positiva relación entre las temperaturas del aire y de superficie (Arnfield, 2003; Weng, 2009, Nichol, 1994), y otros que se refieren a nulas relaciones entre ellas (Weller y Thorne, 2001). A pesar de ello, la EPA sigue que en el caso de las temperaturas nocturnas existe una relación estrecha entre la ICU y la ICUs, hipótesis que se asume.

Múltiples estudios han mencionado explícitamente el potencial y la utilidad del producto MODIS LST en la investigación de la ICUs (Rajasekar y Weng, 2008; Cheval *et al.*, 2009). En particular, las características de realizar observaciones instantáneas, la cobertura mundial y la calidad de los datos de MODIS (Jin y Shepherd, 2005).

Los sensores Terra y Aqua MODIS están operativos desde el año 2000, y sus datos los pueden adquirir gratuitamente investigadores de todo el mundo para sus análisis. Es por esta razón que existe una creciente utilización de ellos, que los valida como una herramienta muy útil para la Climatología urbana.

No obstante, disponer de una mayor cantidad de datos termométricos implica definir herramientas que permitan sintetizar la información. Y hay desde las más sencillas (mapas promedios) a las más sofisticadas, como el Análisis de Componentes Principales (ACP). Este último adquiere una gran importancia, y tanto en Climatología como en Geografía, posee una amplia y reconocida trayectoria, y a diferentes escalas espaciales. Por ejemplo, en estudios de Climatología sinóptica sus aplicaciones se centran en interpretar patrones espaciales diarios de los tipos circulación atmosférica, facilita realizar catálogos de tipos de tiempo, etc. En Climatología urbana ayuda a resumir las configuraciones típicas y más representativas de la isla de calor, lo cual da carácter climático a los resultados, pues sintetiza información de resolución detallada.

### ***4.3. Materiales y métodos***

Se utilizan 53 imágenes Terra MODIS adquiridas desde el servidor de imágenes *Global Visualization Viewer* del Servicio Geológico de los Estados Unidos (*United States Geological Survey*), disponible en <http://glovis.usgs.gov/>. En dicho servidor, se dispone de una amplia colección de productos de imágenes de satélite. Para efectos de este capítulo, se utilizó el producto MOD11A1, en su versión 5.0.

El producto MOD11A1 corresponde a imágenes de temperatura de emisión de superficie, en este caso a resolución diaria y a una hora nocturna (23.59 p.m.). Un importante aspecto, e imprescindible, fue que las noches fuesen despejadas, pues no existe ningún algoritmo capaz de eliminar la nubosidad y rescatar en

superficie los datos de temperatura. Las imágenes poseen una proyección sinusoidal, y cubren un área de aproximadamente 1.100 x 1.100 kilómetros (latitud y longitud). Además, las imágenes ya vienen corregidas, por lo tanto, este producto está listo para su uso en aplicaciones científicas y publicaciones. El formato de los datos es HDF-EOS (*Hierarchical Data Format - Earth Observing System* o Formato de Datos Jerárquicos que se aplica al Sistema de Observación de la Tierra). Además, dispone de varias capas de información (ver tabla 4.1), entre las que encontramos la temperatura de superficie nocturna. En ella se indica la forma de almacenar los datos (16 bit) y el factor de conversión a Kelvin (0,02); por lo tanto, para cada una de nuestras imágenes multiplicamos los valores digitales de cada pixel por 0,02 y posteriormente restamos 273,15, quedando la temperatura en grados Celsius.

Tabla 4.1. Capas analizadas del producto MOD11A1.

Capas	Unidades	Tipo de datos	Rango válido	Factor de conversión	Compensación adicional
Temperatura superficial nocturna	Kelvin	Enteros positivos de 16 bits	7500– 65535	0,02	NA
Control de calidad de la temperatura nocturna	Campo de bits	Enteros positivos de 8 bits	0–255	NA	NA
Tiempo de observación de la temperatura superficial nocturna	Horas	Enteros positivos de 8 bits	1–240	0,1	NA
Emisividad de la Banda 31	Ninguna	Enteros positivos de 8 bits	1–255	0,002	0,49
Emisividad de la Banda 32	Ninguna	Enteros positivos de	1–255	0,002	0,49

8 bits					
Cobertura de cielo despejado nocturno	Ninguna	Enteros positivos de 16 bits	1-65535	0,0005	NA

Fuente: Elaboración propia en base a Wan (2007)

Cabe destacar que el producto MOD11A1 versión 5 posee correcciones topográficas, de transparencia atmosférica, remoción de nubes que contaminan el cálculo de la temperatura y un error menor de 1 K en imágenes sin cubierta nubosa (Wan, 2007).

Las imágenes fueron recortadas en función del límite del área de estudio (ver Capítulo 1), quedando cada una con 1.800 píxeles. Para que ellas fueran comparables, se estandarizaron empleando los puntajes  $Z$ . Así, se obtuvo el valor medio de cada imagen recortada ( $\mu$ ) y su desviación estándar ( $\sigma$ ), los cuales se aprecian en la tabla 4.2. Con dichos parámetros de la distribución normal, se aplicó para cada pixel ( $X$ ) la siguiente operación:

$$Z = \frac{X - \mu}{\sigma}$$

Tabla 4.2. Media y desviación estándar de las imágenes Terra MODIS analizadas.

Fecha	Día	Media (°C)	Desv. Est. (°C)	Fecha	Día	Media (°C)	Desv. Est. (°C)
4 de enero	Lunes	14,87	1,24	8 de mayo	Sábado	6,44	1,10
8 de enero	Viernes	15,66	1,59	5 de junio	Sábado	3,09	1,47
9 de enero	Sábado	15,77	1,74	6 de junio	Domingo	3,31	1,72
10 de enero	Domingo	17,34	1,74	25 de junio	Viernes	2,56	0,92
11 de enero	Lunes	13,69	1,72	27 de junio	Domingo	0,18	0,90
13 de enero	Miércoles	15,11	1,75	28 de junio	Lunes	0,34	1,09
21 de enero	Jueves	21,36	1,81	29 de junio	Martes	1,47	1,15
22 de enero	Viernes	18,59	1,85	18 de julio	Domingo	-1,34	0,93

La isla de calor urbana de superficie y sus factores condicionantes:

El caso del área metropolitana de Santiago

## Capítulo 4

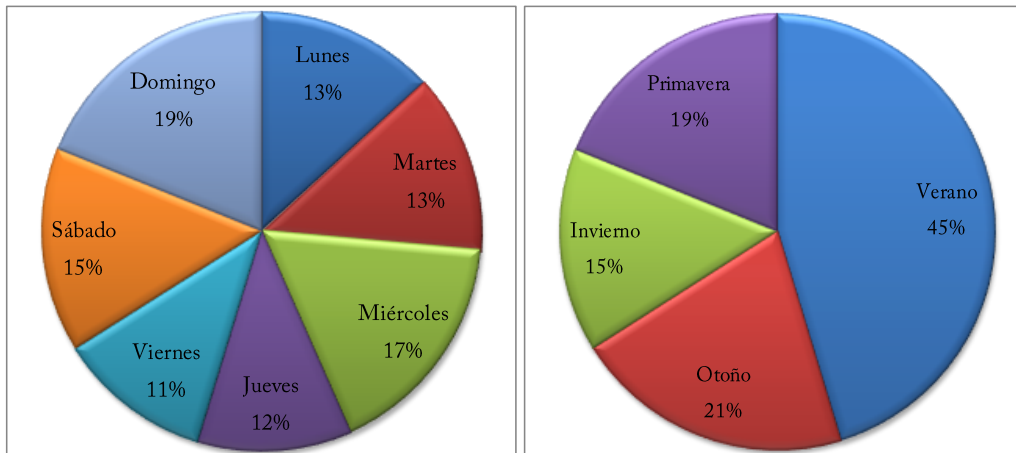
Fecha	Día	Media (°C)	Desv. Est. (°C)	Fecha	Día	Media (°C)	Desv. Est. (°C)
23 de enero	Sábado	18,58	1,37	20 de agosto	Viernes	6,40	1,64
2 de febrero	Martes	16,76	1,79	25 de agosto	Miércoles	4,91	1,24
9 de febrero	Martes	18,12	1,67	5 de septiembre	Domingo	5,78	1,14
10 de febrero	Miércoles	16,71	1,65	2 de octubre	Sábado	6,63	1,56
21 de febrero	Domingo	15,79	1,59	25 de noviembre	Jueves	12,66	1,25
24 de febrero	Miércoles	15,53	1,46	5 de diciembre	Domingo	13,97	1,33
9 de marzo	Martes	14,48	1,62	8 de diciembre	Miércoles	13,54	1,34
10 de marzo	Miércoles	15,50	1,89	9 de diciembre	Jueves	12,15	1,37
15 de marzo	Lunes	15,45	1,47	13 de diciembre	Lunes	10,05	1,53
16 de marzo	Martes	14,34	1,87	14 de diciembre	Martes	14,54	1,35
20 de marzo	Sábado	15,16	1,55	16 de diciembre	Jueves	14,35	0,98
24 de marzo	Miércoles	13,91	1,89	19 de diciembre	Domingo	13,46	1,27
26 de marzo	Viernes	15,70	1,74	20 de diciembre	Lunes	13,78	1,56
3 de abril	Sábado	12,02	1,76	21 de diciembre	Martes	16,97	1,64
4 de abril	Domingo	12,57	1,94	22 de diciembre	Miércoles	15,76	1,56
5 de abril	Lunes	12,28	2,05	24 de diciembre	Viernes	14,13	1,10
14 de abril	Miércoles	8,73	2,05	25 de diciembre	Sábado	16,62	1,24
15 de abril	Jueves	9,08	1,94	26 de diciembre	Domingo	15,96	1,45
22 de abril	Jueves	5,51	1,46				

Fuente: Elaboración propia

Los mapas estandarizados fueron analizados en detalle, lo cual forma parte del «Anexo 1» de esta Tesis. De este modo, cabe destacar que dos tercios de las imágenes son de día laboral (35 imágenes, que representan el 66% del total), tal como se aprecia en la figura 4.1, y que, además, el reparto estacional de ellas indica, 24 imágenes de verano, 11 de otoño, 8 de invierno y 10 de primavera



Figura 4.1. Día de la semana y estación del año de las imágenes trabajadas



Fuente: Elaboración propia

Para simplificar los diversos mapas y registros de temperatura de las imágenes Terra MODIS, se construyeron tres conjuntos de mapas y gráficos:

1. Mapas y perfil de las diferencias térmicas, restando en cada mapa el valor de un pixel considerado representativo de las temperaturas no urbanas, que en este caso fue Pirque. En total se obtienen 5 mapas (uno anual y cuatro de las estaciones).
2. Mapas y perfiles promedios de las temperaturas estandarizadas, tanto anual como de cada estación, obteniéndose 5 mapas, los cuales están mejorados en resolución mediante interpolación geoestadística Kriging ordinario.
3. Cuatro mapas del análisis de componentes principales con rotación Varimax.

#### 4.4. Resultados

##### 4.4.1. Resultados termométricos y mapas de diferencias térmicas

De manera agregada se calculan los valores de las temperaturas urbanas y rurales, y para las 4 estaciones del año (ver figura 4.2). La ciudad de Santiago es siempre más cálida que su entorno rural, con intensidades promedio de la ICUs de 0,8°C en invierno, 1,5°C en primavera, 1,9°C en verano y 2°C en otoño.

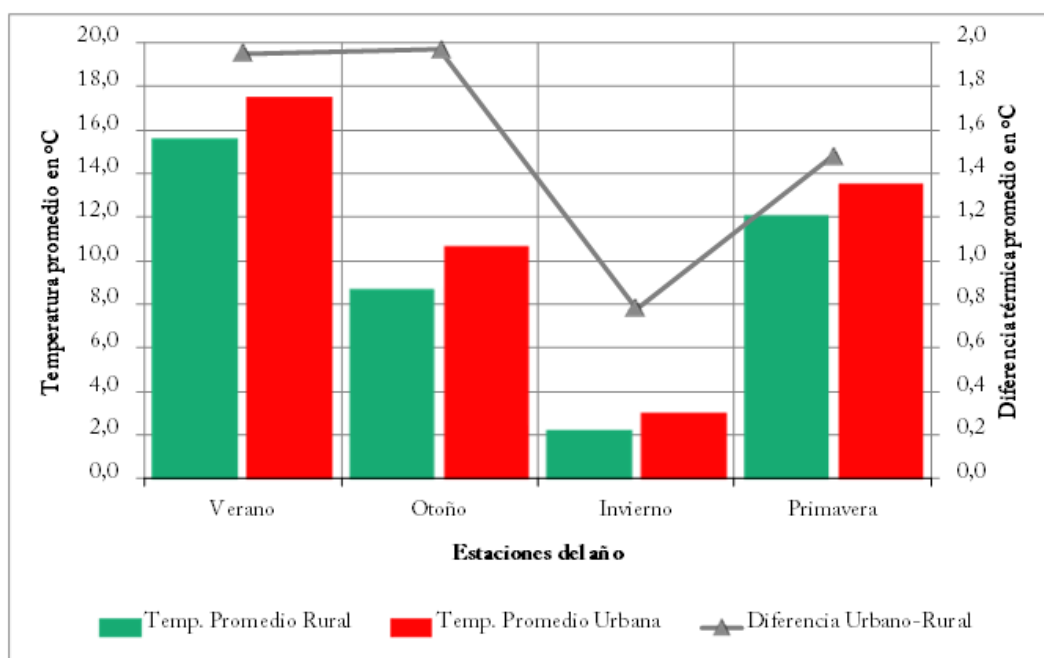


Figura 4.2. Temperaturas promedio y diferencias térmicas entre áreas urbanas y rurales según estaciones del año.

También se ha calculado la ICUs considerando como área rural los valores termométricos de Pirque, y una agregación comunal de las temperaturas de superficie. Se ha obtenido que las comunas más cálidas (por encima de 3°C) corresponden a Providencia, Ñuñoa, Santiago, Independencia, Conchalí, Huechuraba y Estación Central. Las comunas más frescas son Pirque, Lampa,

Peñaflor, Calera de Tango y Paine, que son periféricas (figura 4.3). A nivel estacional y anual la tabla 4.3 muestra la intensidad media de la ICUs según comuna.

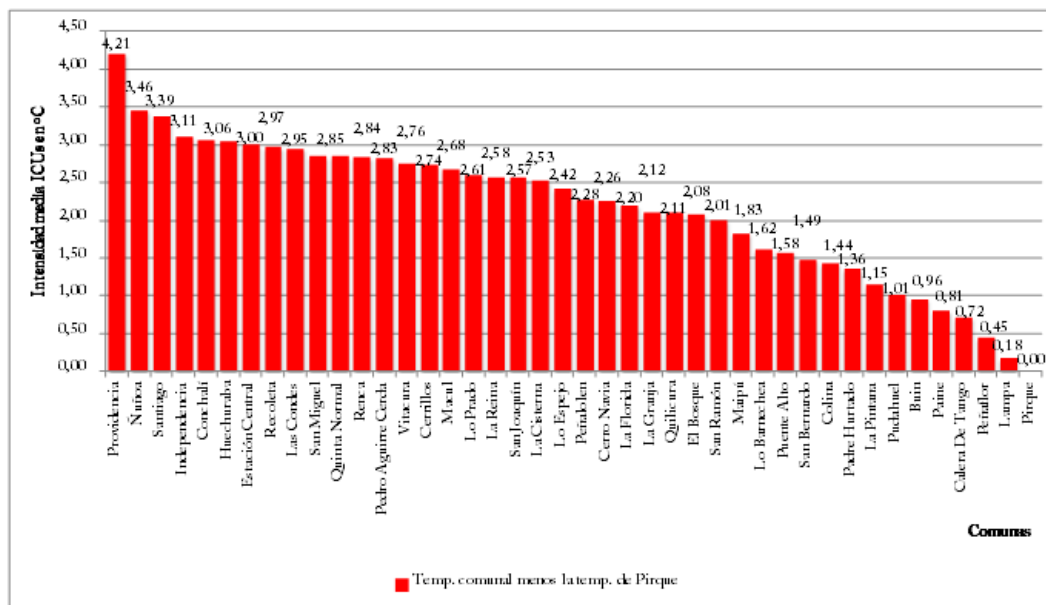


Figura 4.3. Promedio de la ICUs a nivel comunal, considerando como área rural a la comuna Pirque.

Tabla 4.3. Resumen estadístico de la ICUs promedio a nivel comunal, tanto anual como estacional.

Comuna	ICUs Verano	ICUs Otoño	ICUs Invierno	ICUs Primavera	ICUs anual
Providencia	4,39	4,95	3,35	4,14	4,21
Ñuñoa	3,97	3,92	2,36	3,59	3,46
Santiago	3,90	4,04	2,08	3,53	3,39
Independencia	3,88	3,70	1,46	3,41	3,11
Conchalí	3,77	3,43	1,59	3,46	3,06
Huechuraba	3,43	3,43	2,18	3,19	3,06
Estación Central	3,68	3,29	1,60	3,44	3,00
Recoleta	3,66	3,51	1,54	3,18	2,97
Las Condes	3,14	3,66	2,21	2,80	2,95
San Miguel	3,54	3,32	1,48	3,07	2,85
Quinta Normal	3,59	3,25	1,33	3,23	2,85
Renca	3,39	3,03	1,66	3,28	2,84
Pedro Aguirre Cerda	3,53	3,12	1,57	3,11	2,83

La isla de calor urbana de superficie y sus factores condicionantes:

El caso del área metropolitana de Santiago

## Capítulo 4

Comuna	ICUs Verano	ICUs Otoño	ICUs Invierno	ICUs Primavera	ICUs anual
Vitacura	2,84	3,33	2,32	2,53	2,76
Cerrillos	3,49	2,93	1,44	3,09	2,74
Macul	3,37	3,02	1,33	2,98	2,68
Lo Prado	3,40	2,85	1,05	3,14	2,61
La Reina	2,87	3,19	1,84	2,42	2,58
San Joaquín	3,32	3,04	1,05	2,85	2,57
La Cisterna	3,12	2,98	1,22	2,81	2,53
Lo Espejo	3,14	2,83	0,99	2,71	2,42
Peñalolén	2,71	3,01	1,26	2,14	2,28
Cerro Navia	3,04	2,39	0,68	2,92	2,26
La Florida	2,77	2,72	1,10	2,22	2,20
La Granja	2,82	2,61	0,72	2,32	2,12
Quilicura	2,68	2,09	0,88	2,77	2,11
El Bosque	2,67	2,53	0,75	2,39	2,08
San Ramón	2,72	2,54	0,55	2,21	2,01
Maipú	2,13	1,84	0,99	2,35	1,83
Lo Barnechea	1,67	2,48	1,14	1,19	1,62
Puente Alto	1,91	2,07	0,84	1,49	1,58
San Bernardo	1,59	1,55	0,91	1,90	1,49
Colina	1,73	1,46	0,79	1,76	1,44
Padre Hurtado	1,04	1,15	1,44	1,82	1,36
La Pintana	1,56	1,30	0,28	1,46	1,15
Pudahuel	1,60	0,74	-0,02	1,73	1,01
Buín	0,94	0,81	0,69	1,40	0,96
Paine	0,61	0,72	0,86	1,03	0,81
Calera de Tango	0,30	0,56	1,00	1,03	0,72
Peñaflor	0,14	-0,04	0,91	0,81	0,45
Lampa	0,30	-0,05	-0,10	0,56	0,18
Pirque	0,00	0,00	0,00	0,00	0,00

Fuente: Elaboración propia

Con la tabla 4.3 se investigó sobre las relaciones entre las intensidades de la ICUs y las estaciones, encontrando que todas se relacionan con una alta significancia estadística ( $p$ -value menor a 0,05 o 95%). No obstante, el invierno posee coeficientes de correlación de Pearson ( $r$ ) entre 0,66 con verano y 0,79 con otoño, mientras que los otros están correlacionados con un « $r$ » mayor a 0,91.

Finalmente se ha cartografiado la ICUs promedio anual y de estaciones en mapas de diferencias térmicas. Ello se realizó restando el valor de un pixel localizado en Pirque, anteriormente seleccionado como representante del área rural.

Las figuras 4.4 a 4.7 indican que la intensidad de la isla de calor urbana de superficie (al considerar cero en un punto de Pirque) es de mayor magnitud durante el otoño (7,4°C), seguida de verano (5,9°C), primavera (5,4°C) e invierno (5,0°C).

Los mapas indican que las estaciones de mayor intensidad de la isla de calor son otoño y verano, con diferencias térmicas superiores a los 4,6°C respecto a su periferia, e incluso llegando a los 7°C en la zona oriente de mayor densidad construida; mientras que en invierno y primavera la ICUs es de menor tamaño, y circunscrita al oriente de la capital y la zona industrial de Quilicura.

Las laderas del sector norte del área de estudio parecen desempeñar un importante rol en las temperaturas nocturnas, pues se muestran más cálidas que los fondos de valle, y con temperaturas similares al centro de la ciudad.

Anualmente (figuras 4.8 y 4.9), los patrones confirman que la zona oriente de la ciudad y las laderas del sector norte acumulan la mayor temperatura, con lo cual, la ICUs anual supera en Santiago los 5,5°C.

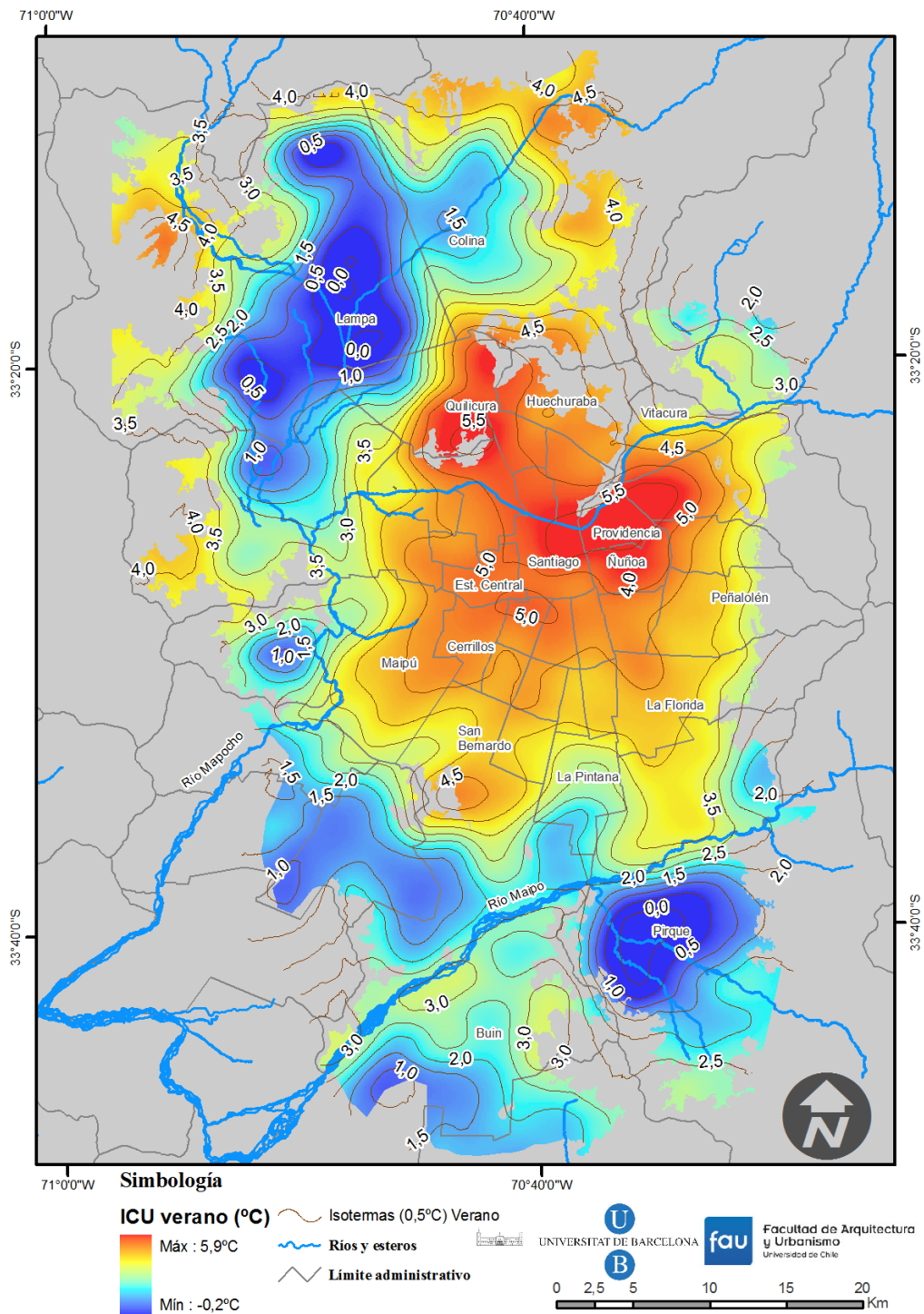


Figura 4.4. Mapa de la isla de calor urbana de Santiago de Chile (verano).

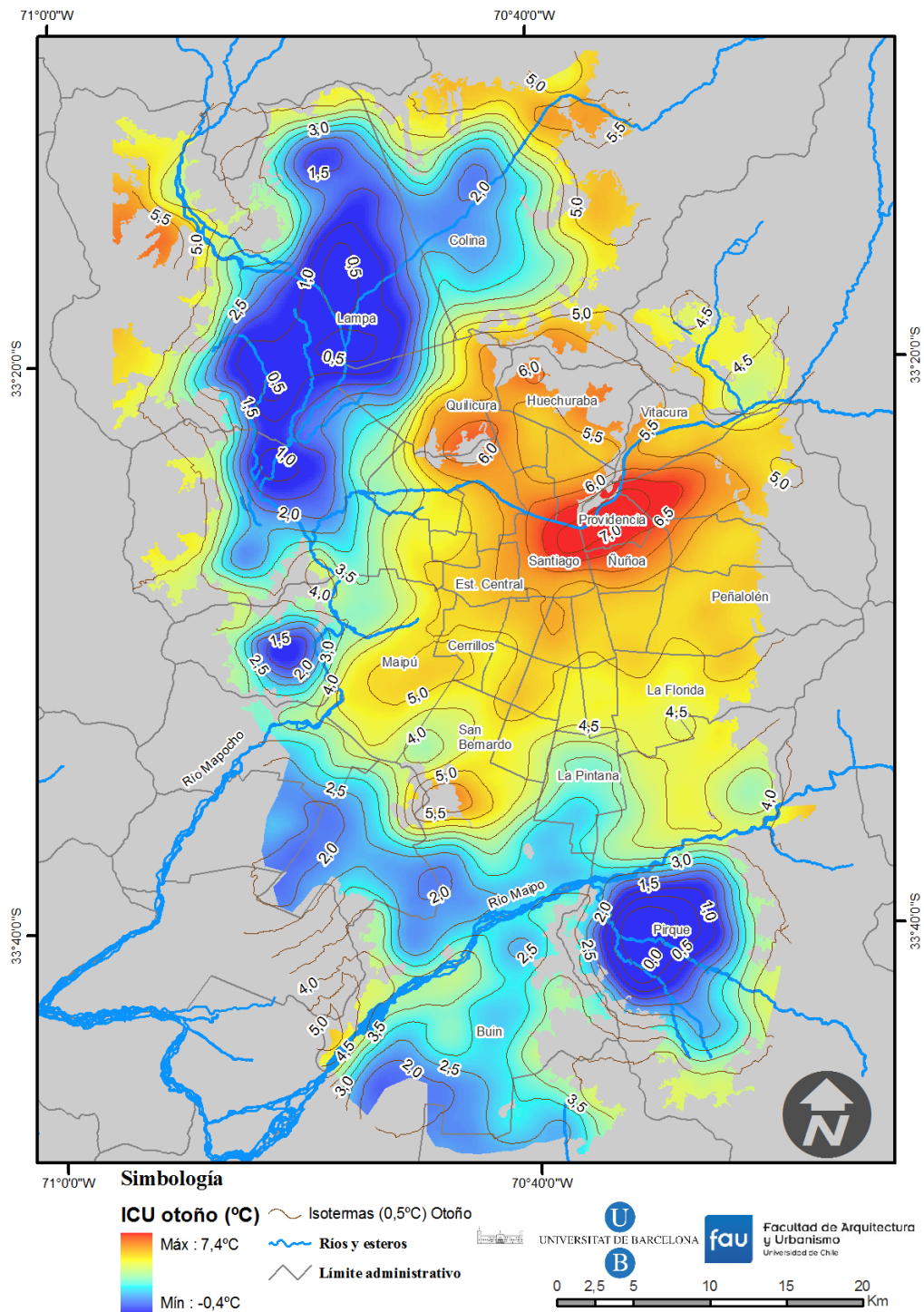


Figura 4.5. Mapa de la isla de calor urbana de Santiago de Chile (otoño).



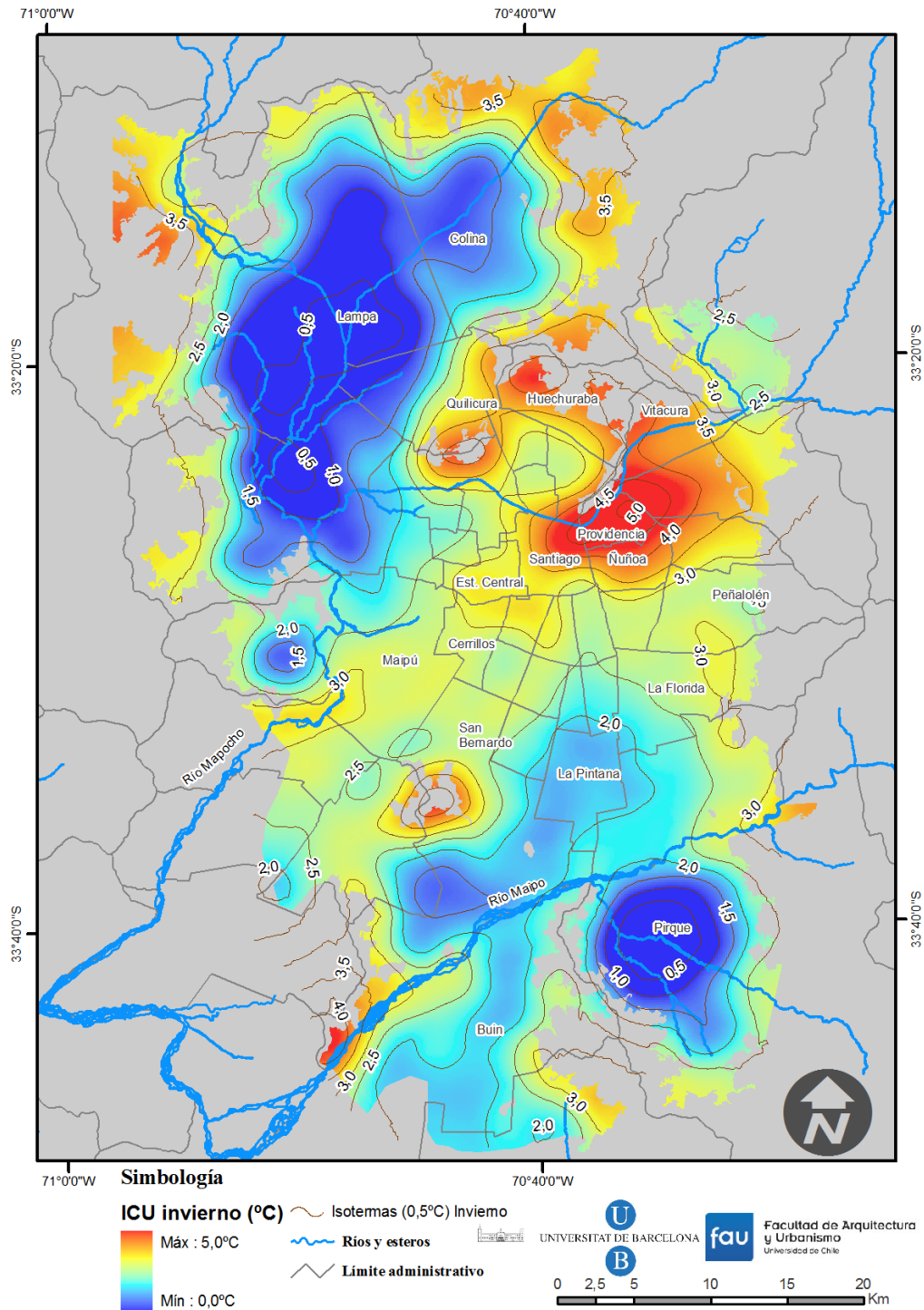


Figura 4.6. Mapa de la isla de calor urbana de Santiago de Chile (invierno).



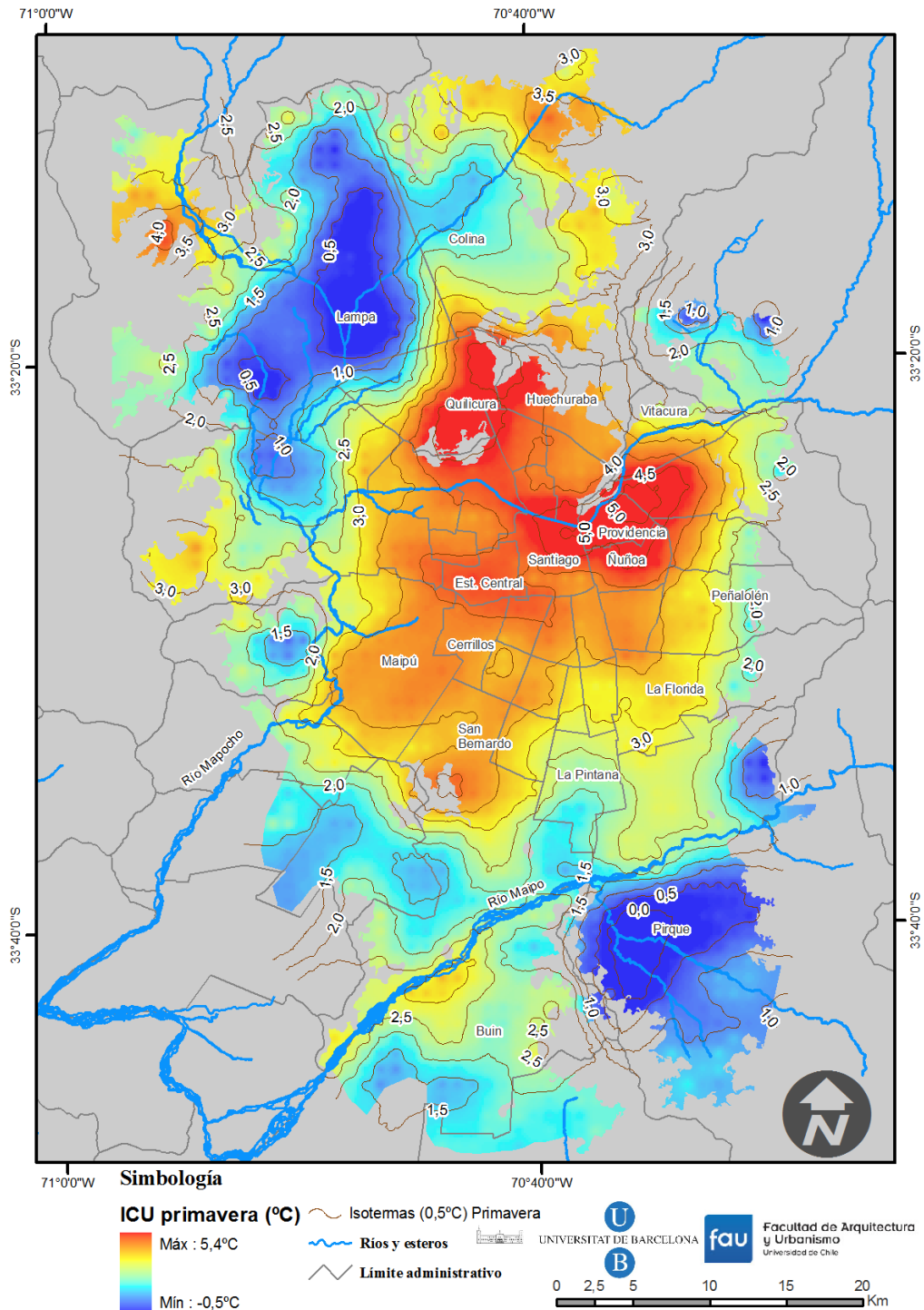


Figura 4.7. Mapa de la isla de calor urbana de Santiago de Chile (primavera).

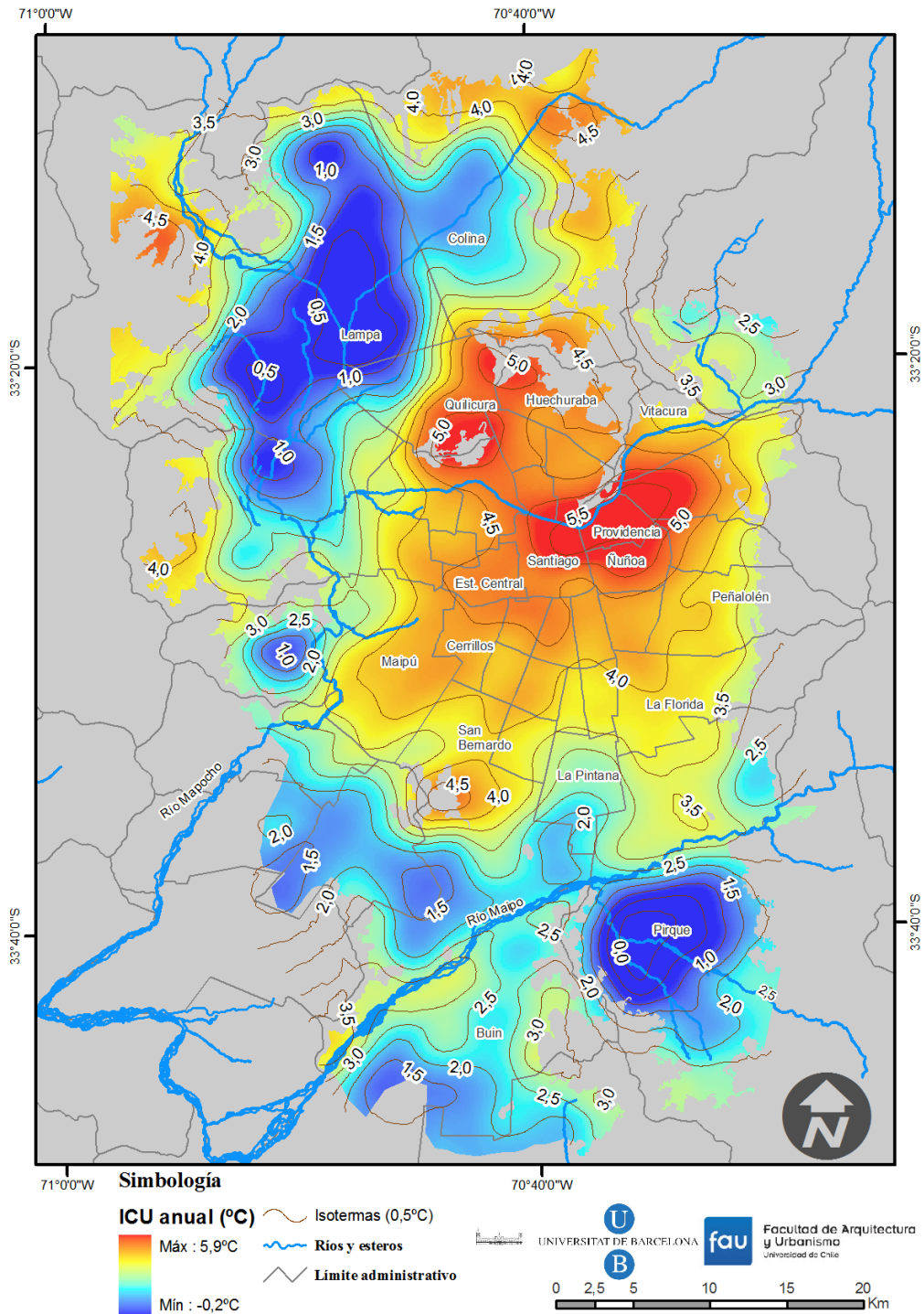


Figura 4.8. Mapa de la isla de calor urbana de Santiago de Chile (anual).

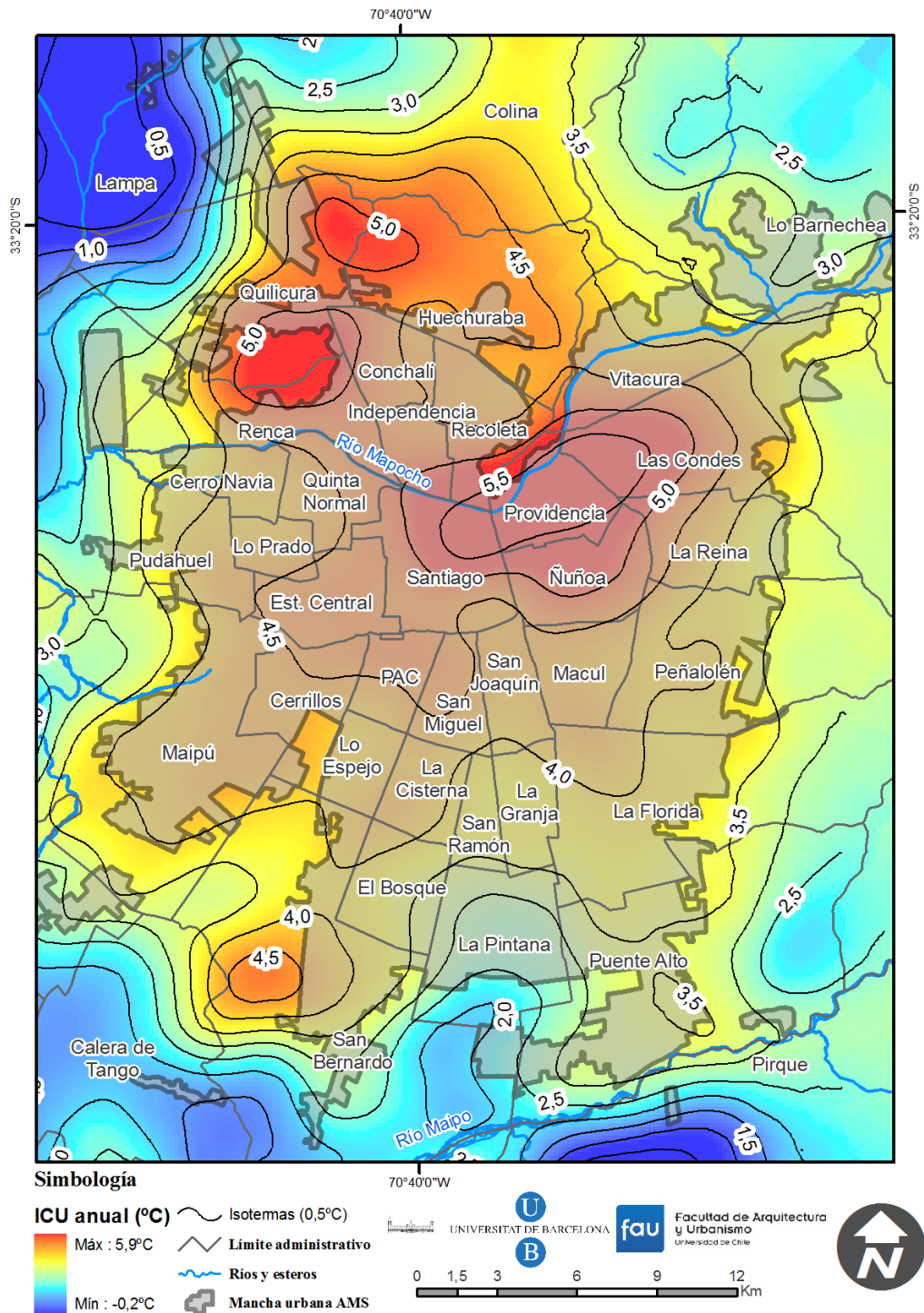


Figura 4.9. Mapa de detalle de la isla de calor urbana de Santiago de Chile (anual).

#### *4.4.2. Síntesis del análisis de los mapas estandarizados*

Los mapas estandarizados de las temperaturas de superficie fueron promediados para cada estación del año (verano, otoño, invierno y primavera), además de uno anual. Todos ellos muestran que la isla de calor tiende a localizar el máximo térmico en las comunas de Santiago, Providencia, Las Condes, Ñuñoa y Vitacura, conformando un núcleo cálido asociado a la mayor densidad construida (punto que se retomará en el capítulo 5 de esta Tesis). Además, las comunas de Huechuraba y Quilicura conforman otro núcleo cálido, el que está asociado a viviendas de alto nivel de ingresos en el primer caso e industrias en el caso de Quilicura.

El lector advertirá al observar las figuras promedio estandarizadas de las temperaturas superficiales nocturnas que la periferia de la ciudad es generalmente fría, lo cual resulta del efecto isla de calor. No obstante, se debe matizar tres singularidades interesantes:

1. Por un lado, el río Maipo en el límite de las comunas de Buin y San Bernardo es, durante todo el año, más cálido que su entorno (Figuras 4.10 a 4.14), siendo incluso el fenómeno más acusado en invierno. Esto se explica por las propiedades térmicas del agua, la cual posee una alta capacidad de almacenar calor y una elevada inercia térmica. Este fenómeno también es apreciable, aunque en menor proporción, en el río Mapocho, cerca de la comuna de Padre Hurtado.
2. La zona norte del área estudiada, es decir, Lampa y Colina, presentan en sus terrenos más elevados (sin superar los 1.150 m.s.n.m fijados), tanto en las faldas de la Cordillera de la Costa como en los cordones de Chicureo, una superficie recalentada, lo cual puede deberse a flujos nocturnos de montaña-valle de carácter catabático. Esto genera una franja que a las 0.00 a. m. es más cálida que los fondos de valle, los cuales se presentan tan fríos como muestran los registros de Pirque y

Buin (incluso en Puente Alto es notorio), las que reproducen el mismo fenómeno. Lo anteriormente señalado es más intenso en otoño e invierno (Figuras 4.10 a 4.14)

3. Una evidente vaguada térmica que ingresa a la ciudad desde la comuna de La Pintana, la cual posee población de bajo nivel socioeconómico, alcanzando incluso parte de las comunas de La Florida y La Granja en invierno (Figuras 4.10 a 4.14). Además, la cuña es poco perceptible en primavera, debido a las aguas frías de fusión del Maipo.

Salvando estas tres peculiaridades, los resultados indican una clara isla de calor urbana de superficie, con dos núcleos principales de mayor nivel térmico. Asimismo, ella se manifiesta durante todo el año.



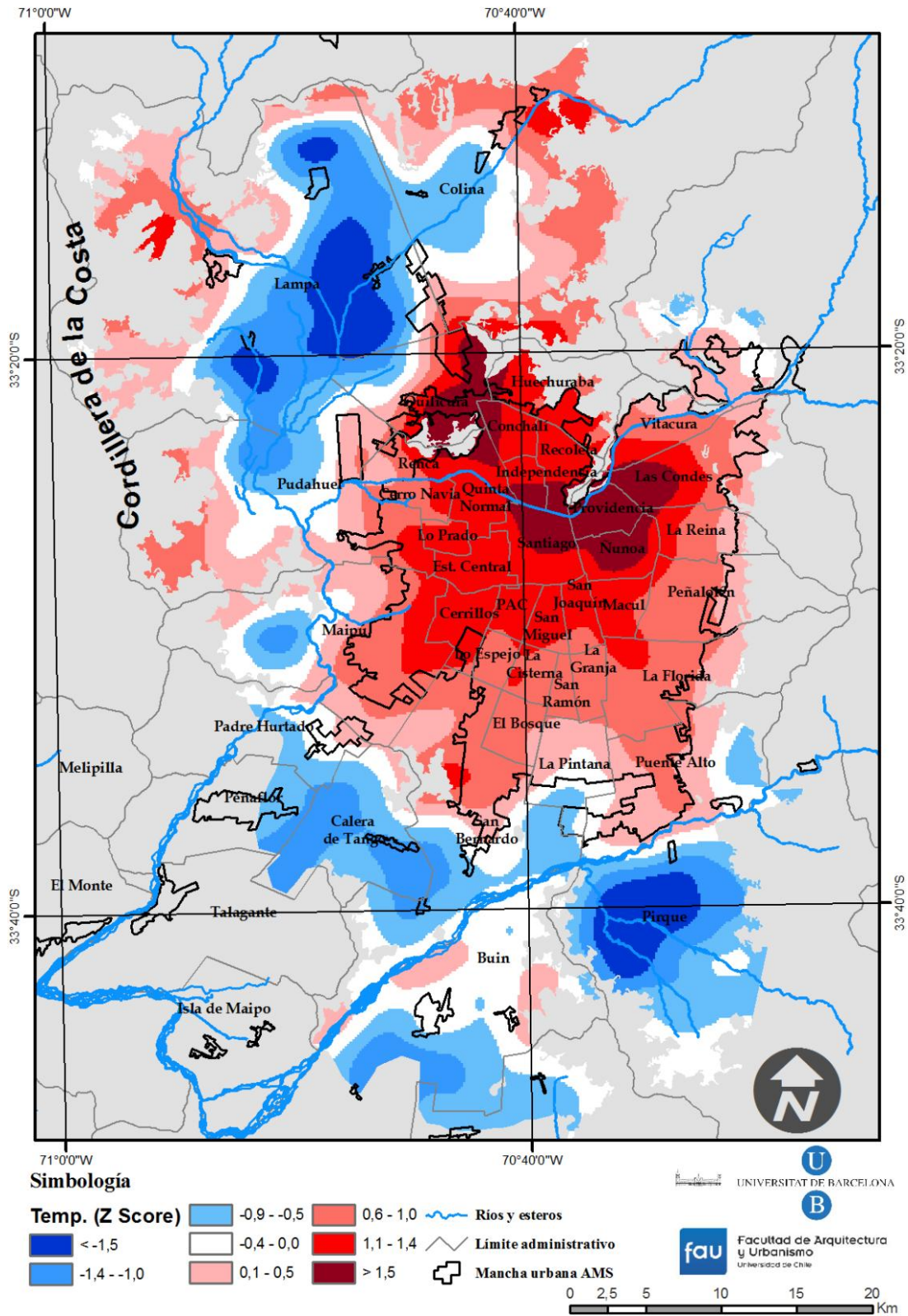


Figura 4.10. Mapa promedio estandarizado de las temperaturas de la estación de verano.

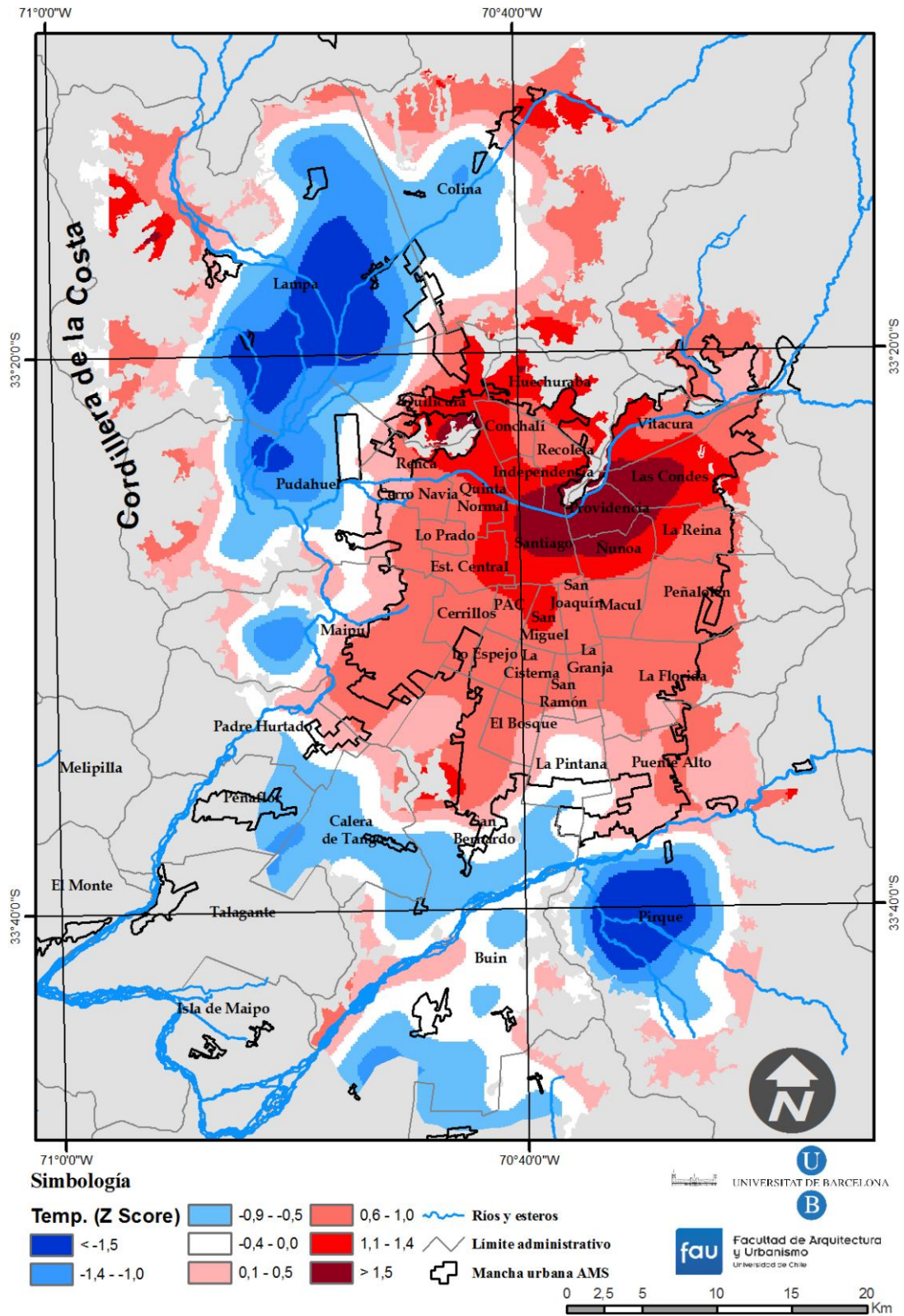


Figura 4.11. Mapa promedio estandarizado de las temperaturas de la estación de otoño.



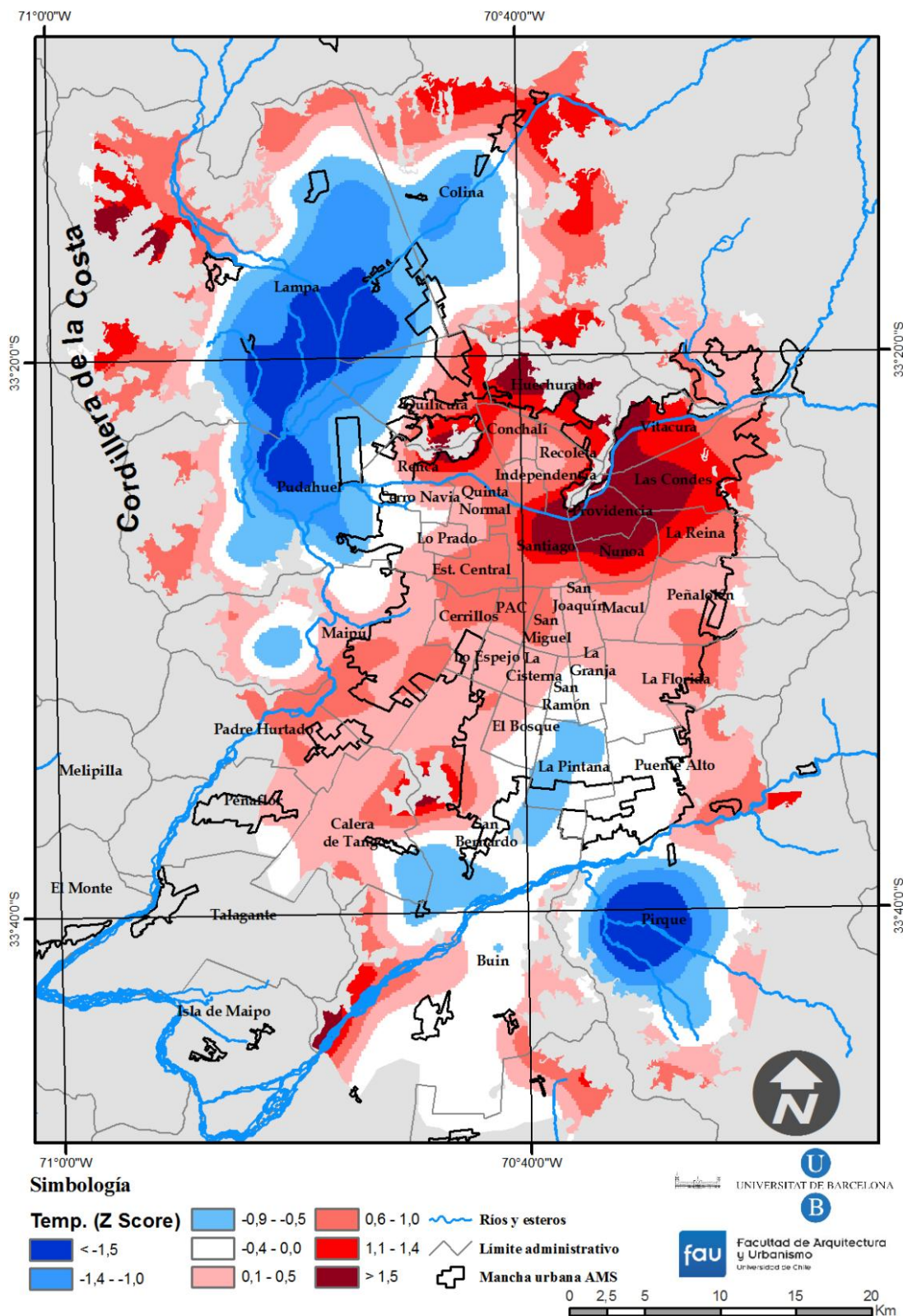


Figura 4.12. Mapa promedio estandarizado de las temperaturas de la estación de invierno.



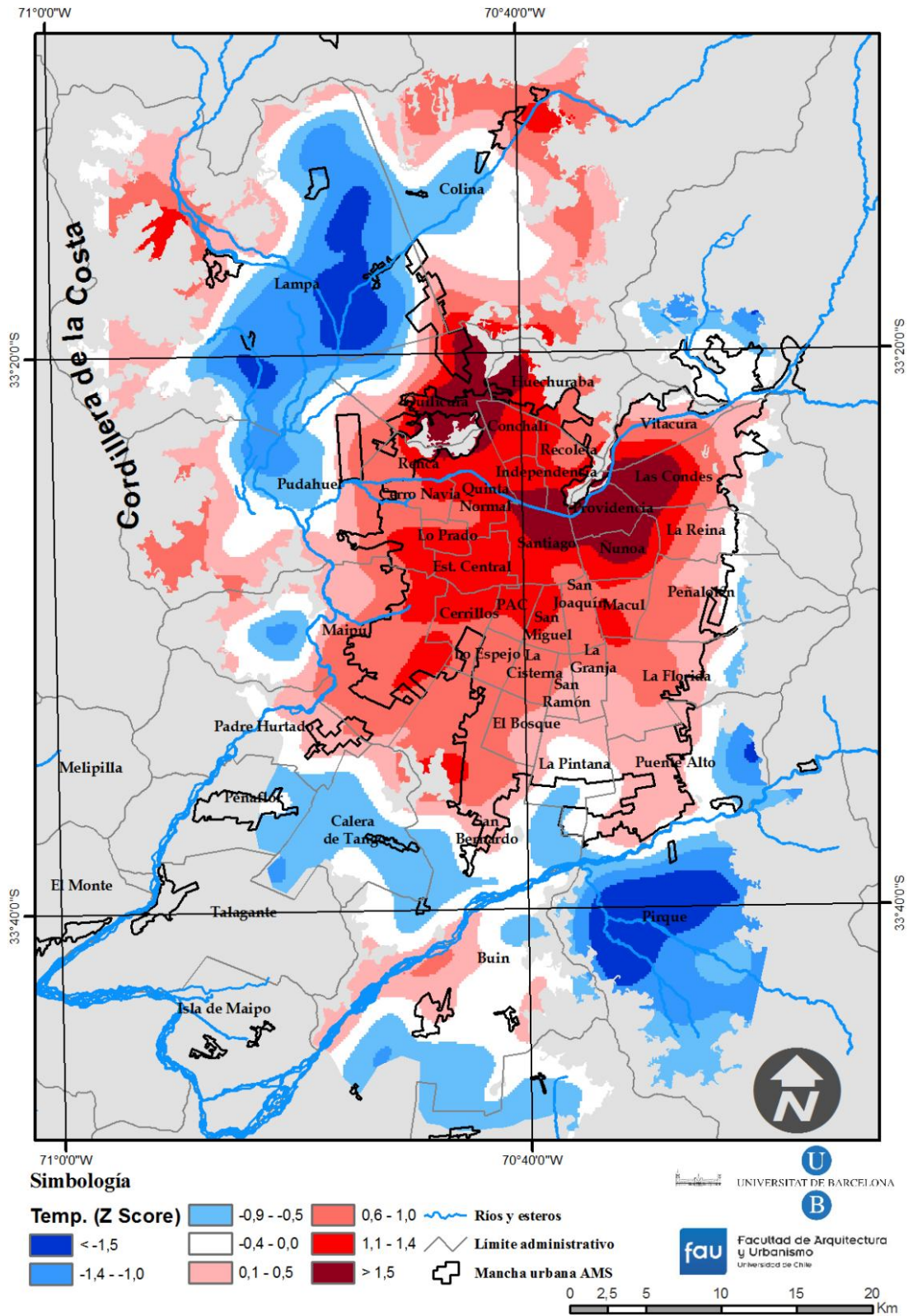


Figura 4.13. Mapa promedio estandarizado de las temperaturas de la estación de primavera.

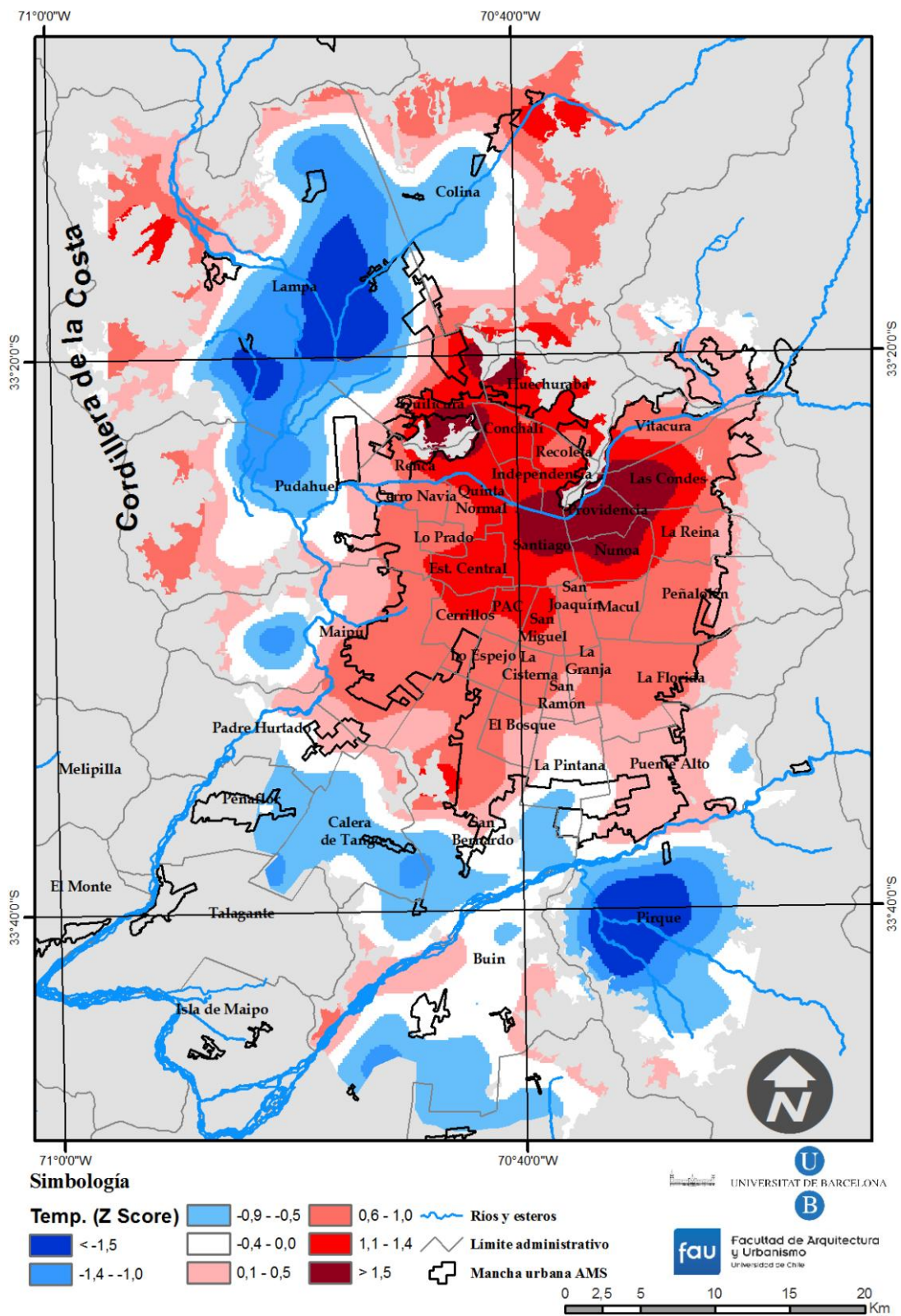


Figura 4.14. Mapa promedio estandarizado de las temperaturas anuales.

#### *4.4.3. Síntesis del análisis de componentes principales de los mapas estandarizados*

Con el propósito de conocer los patrones típicos que adquiere la isla de calor se optó, además de construir los mapas de promedios, por realizar un análisis de componentes principales. Esta técnica permite resumir las 53 imágenes en nuevos factores complejos que explican gran parte de la varianza, y posibilita interpretar los patrones espaciales asociados a ellos.

En primer lugar, se generó la matriz de correlación de las imágenes, y con ello se consiguió detectar días con baja, moderada, acusada y muy acusada correlación (ver figura 4.15). Los días comprendidos entre el 5 de junio y el 2 de octubre (a excepción del 25 de agosto) no se relacionan con el resto de los días del año; al igual que las imágenes del 21 de enero y el 13 de diciembre. Todas ellas (ver anexo 1) poseen una configuración de los máximos de temperatura localizados al sur y poniente del AMS, desde Buin hasta Pudahuel. El resto de los días está altamente correlacionado, y muestra patrones más concéntricos a las comunas de Santiago y Providencia.

Luego de obtener las correlaciones entre las imágenes se ha estimado la comunalidad ( $h^2$ ) por el cuadrado del coeficiente de correlación múltiple entre  $x$  y las demás variable. Ellas explican el peso de cada uno de los días en la varianza explicada. En general los valores son mayores a 0,8 (ver tabla 4.4). No obstante, hay tres días que no superan dicho valor, los cuales corresponden a situaciones de invierno (25 y 27 de junio y 18 de julio). En dichos casos, la configuración sinóptica de la topografía de 500 hPa muestra casos de bajo índice de circulación zonal del oeste, con vaguada polar y una depresión aislada en niveles altos (DANA), desplazando la isla de calor más al norte de la ciudad. Las mayores comunalidades (iguales o superiores a 0,97) corresponden a 6 casos, centrados

entre verano y otoño, siendo los de los días 22 de enero, 21 y 24 de febrero, 10 y 16 de marzo y 4 de abril.

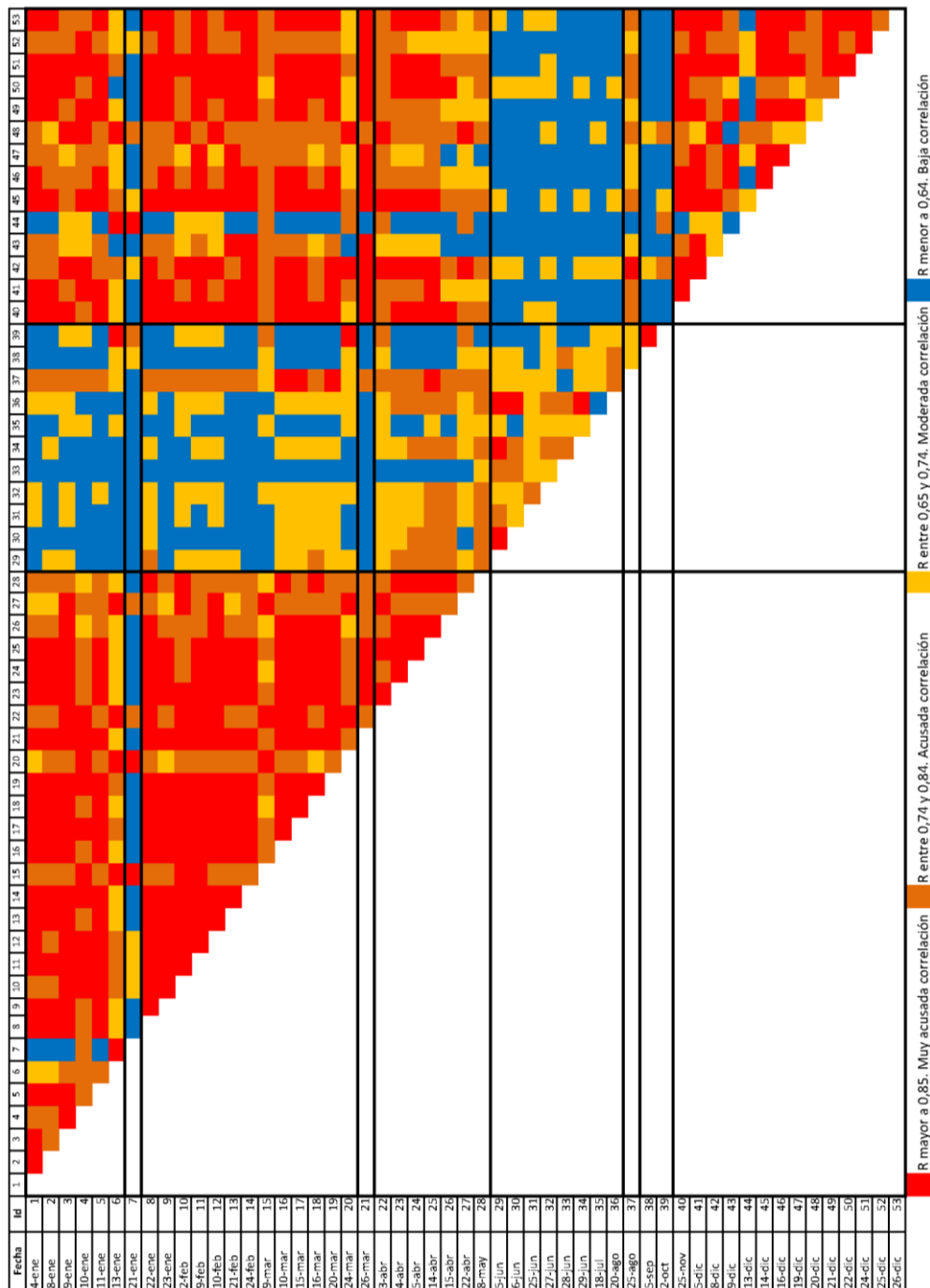


Figura 4.15. Matriz de correlación entre los 53 mapas estandarizados.



Tabla 4.4. Comunalidades de las imágenes de los 53 días de análisis.

Fecha de las imágenes	Comunalidades iniciales	Comunalidades de extracción
4 de enero de 2010	1,00	0,91
8 de enero de 2010	1,00	0,86
9 de enero de 2010	1,00	0,90
10 de enero de 2010	1,00	0,86
11 de enero de 2010	1,00	0,89
13 de enero de 2010	1,00	0,92
21 de enero de 2010	1,00	0,88
22 de enero de 2010	1,00	0,97
23 de enero de 2010	1,00	0,95
2 de febrero de 2010	1,00	0,92
9 de febrero de 2010	1,00	0,94
10 de febrero de 2010	1,00	0,94
21 de febrero de 2010	1,00	0,97
24 de febrero de 2010	1,00	0,97
9 de marzo de 2010	1,00	0,92
10 de marzo de 2010	1,00	0,97
15 de marzo de 2010	1,00	0,96
16 de marzo de 2010	1,00	0,98
20 de marzo de 2010	1,00	0,94
24 de marzo de 2010	1,00	0,91
26 de marzo de 2010	1,00	0,95
3 de abril de 2010	1,00	0,94
4 de abril de 2010	1,00	0,97
5 de abril de 2010	1,00	0,95
14 de abril de 2010	1,00	0,95
15 de abril de 2010	1,00	0,94
22 de abril de 2010	1,00	0,92
8 de mayo de 2010	1,00	0,88
5 de junio de 2010	1,00	0,88
6 de junio de 2010	1,00	0,84
25 de junio de 2010	1,00	0,71
27 de junio de 2010	1,00	0,76

Fecha de las imágenes	Comunalidades iniciales	Comunalidades de extracción
28 de junio de 2010	1,00	0,89
29 de junio de 2010	1,00	0,84
18 de julio de 2010	1,00	0,71
20 de agosto de 2010	1,00	0,89
25 de agosto de 2010	1,00	0,80
5 de septiembre de 2010	1,00	0,86
2 de octubre de 2010	1,00	0,91
25 de noviembre de 2010	1,00	0,92
5 de diciembre de 2010	1,00	0,96
8 de diciembre de 2010	1,00	0,89
9 de diciembre de 2010	1,00	0,88
13 de diciembre de 2010	1,00	0,89
14 de diciembre de 2010	1,00	0,93
16 de diciembre de 2010	1,00	0,93
19 de diciembre de 2010	1,00	0,92
20 de diciembre de 2010	1,00	0,92
21 de diciembre de 2010	1,00	0,95
22 de diciembre de 2010	1,00	0,92
24 de diciembre de 2010	1,00	0,95
25 de diciembre de 2010	1,00	0,87
26 de diciembre de 2010	1,00	0,94

Fuente: Elaboración propia.

Comprobadas las comunalidades se establece el número de componentes principales. La tabla 4.5 resume para las 10 primeras componentes la distribución de la varianza total explicada mediante ACP. En ella se aprecia que luego de rotar la matriz con el método Varimax (Kaiser, 1958) y aplicando la regla de Kaiser (1960), es decir, conservando aquellos factores cuyos valores propios o *eigenvalues* sean mayores a 1, y el criterio del «*scree graph*» (Cattell, 1966), basta con 4 factores para explicar el 90,7% de la varianza total. Así, el componente 1 rotado explica el 44,5% de la varianza total, el componente 2, un 22,2%, el 3, un 20,2% y, finalmente, el componente 4, un 3,6%.

Tabla 4.5. Varianza explicada del ACP, rotadas con el método varimax.

Componente	Autovalores iniciales			Sumas de las saturaciones al cuadrado de la extracción			Suma de las saturaciones al cuadrado de la rotación		
	Total	% de la varianza	% acumulado	Total	% de la varianza	% acumulado	Total	% de la varianza	% acumulado
1	40,573	76,552	76,552	40,573	76,552	76,552	23,619	44,563	44,563
2	3,606	6,804	83,356	3,606	6,804	83,356	11,798	22,261	66,824
3	2,842	5,362	88,719	2,842	5,362	88,719	10,721	20,229	87,053
4	1,025	1,935	90,653	1,025	1,935	90,653	1,908	3,600	90,653
5	0,671	1,265	91,919						
6	0,452	0,854	92,772						
7	0,379	0,716	93,488						
8	0,295	0,556	94,045						
9	0,268	0,506	94,550						
10	0,235	0,444	94,994						

Fuente: Elaboración propia.

La matriz de carga factorial (tabla 4.6) indica el grado de correspondencia entre las variables (es decir cada uno de los 53 días) y los factores, los cuales ya se presentan rotados. Como se sabe en ACP, lo ideal es que cada variable posea un peso alto en un factor y bajo en los demás, facilitando la interpretación (y parsimonia) de los factores. Además, en la tabla 4.6 se ha agregado una nueva columna que corresponde a una asignación manual de los días a partir de la matriz. Podemos observar que la mayoría de los días es asignado al componente rotado 1 (RPC1), y que ninguno carga al RPC4. Esto implica que este último factor es meramente complementario, lo cual se verá mejor explicado en los mapas de componentes rotados. Para construir cada factor lo que se hace matemáticamente es una suma de cada día multiplicada por el valor de cada carga factorial. Siendo el primer factor rotado « $0,830*04$  de enero +  $0,778*08$  de enero+  $0,662*09$  de enero+.....+  $0,861*26$  de diciembre» para cada uno de los 1.800 píxeles.

La isla de calor urbana de superficie y sus factores condicionantes:

El caso del área metropolitana de Santiago

## Capítulo 4

Tabla 4.6. Matriz de carga factorial o pesos de los componentes.

Días	RPC1	RPC2	RPC3	RPC4	Factor asignado manualmente
4 de enero de 2010	0,831	0,343	0,283	0,134	RPC1
8 de enero de 2010	0,778	0,393	0,310	0,063	RPC1
9 de enero de 2010	0,662	0,376	0,462	0,329	RPC1
10 de enero de 2010	0,670	0,280	0,566	0,128	RPC1
11 de enero de 2010	0,798	0,343	0,335	0,168	RPC1
13 de enero de 2010	0,420	0,309	0,798	0,091	RPC3
21 de enero de 2010	0,311	0,164	0,871	-0,028	RPC3
22 de enero de 2010	0,792	0,474	0,242	0,238	RPC1
23 de enero de 2010	0,878	0,265	0,251	0,221	RPC1
2 de febrero de 2010	0,654	0,342	0,521	0,322	RPC1
9 de febrero de 2010	0,786	0,377	0,422	0,087	RPC1
10 de febrero de 2010	0,640	0,359	0,518	0,363	RPC1
21 de febrero de 2010	0,884	0,318	0,264	0,133	RPC1
24 de febrero de 2010	0,860	0,292	0,321	0,193	RPC1
9 de marzo de 2010	0,564	0,281	0,719	0,054	RPC1
10 de marzo de 2010	0,813	0,432	0,268	0,219	RPC1
15 de marzo de 2010	0,807	0,400	0,347	0,173	RPC1
16 de marzo de 2010	0,783	0,476	0,191	0,318	RPC1
20 de marzo de 2010	0,790	0,420	0,352	0,139	RPC1
24 de marzo de 2010	0,461	0,371	0,737	0,150	RPC3
26 de marzo de 2010	0,861	0,306	0,321	0,108	RPC1
3 de abril de 2010	0,556	0,422	0,645	0,186	RPC3
4 de abril de 2010	0,752	0,505	0,226	0,313	RPC1
5 de abril de 2010	0,723	0,552	0,199	0,295	RPC1
14 de abril de 2010	0,707	0,590	0,267	0,176	RPC1
15 de abril de 2010	0,595	0,624	0,229	0,385	RPC2
22 de abril de 2010	0,437	0,424	0,686	0,288	RPC3
8 de mayo de 2010	0,542	0,662	0,304	0,240	RPC2
5 de junio de 2010	0,348	0,841	0,198	0,118	RPC2
6 de junio de 2010	0,306	0,829	0,122	0,213	RPC2
25 de junio de 2010	0,391	0,705	0,242	0,028	RPC2
27 de junio de 2010	0,373	0,705	0,349	-0,007	RPC2
28 de junio de 2010	0,096	0,894	0,243	-0,135	RPC2
29 de junio de 2010	0,319	0,823	0,251	0,054	RPC2



Días	RPC1	RPC2	RPC3	RPC4	Factor asignado manualmente
18 de julio de 2010	0,288	0,569	0,536	-0,128	RPC2
20 de agosto de 2010	0,305	0,847	0,255	0,136	RPC2
25 de agosto de 2010	0,595	0,534	0,374	0,137	RPC1
5 de septiembre de 2010	0,133	0,673	0,617	-0,103	RPC2
2 de octubre de 2010	0,176	0,449	0,825	-0,005	RPC3
25 de noviembre de 2010	0,824	0,300	0,312	0,226	RPC1
5 de diciembre de 2010	0,852	0,300	0,361	-0,108	RPC1
8 de diciembre de 2010	0,637	0,423	0,530	0,157	RPC1
9 de diciembre de 2010	0,873	0,100	0,287	-0,168	RPC1
13 de diciembre de 2010	0,362	0,086	0,867	0,024	RPC3
14 de diciembre de 2010	0,780	0,359	0,436	-0,020	RPC1
16 de diciembre de 2010	0,881	0,174	0,347	-0,081	RPC1
19 de diciembre de 2010	0,799	0,203	0,426	-0,249	RPC1
20 de diciembre de 2010	0,498	0,352	0,668	0,317	RPC3
21 de diciembre de 2010	0,892	0,195	0,328	-0,080	RPC1
22 de diciembre de 2010	0,756	0,467	0,177	0,323	RPC1
24 de diciembre de 2010	0,834	0,326	0,381	-0,006	RPC1
25 de diciembre de 2010	0,785	0,090	0,490	0,047	RPC1
26 de diciembre de 2010	0,862	0,360	0,260	0,041	RPC1

Fuente: Elaboración propia. La rotación ha convergido en 8 interacciones.

La tabla 4.7 indica los coeficientes que son aplicados para construir numéricamente los puntajes de cada pixel y día, lo cual es graficado en los mapas de ACP.

Tabla 4.7. Matriz de coeficientes para el cálculo de las puntuaciones en los factores.

Días	RPC1	RPC2	RPC3	RPC4
4 de enero de 2010	0,06	-0,01	-0,04	-0,01
8 de enero de 2010	0,06	0,01	-0,03	-0,07
9 de enero de 2010	-0,01	-0,03	0,04	0,20
10 de enero de 2010	0,01	-0,04	0,07	0,03
11 de enero de 2010	0,05	-0,02	-0,02	0,03
13 de enero de 2010	-0,05	-0,04	0,16	0,03
21 de enero de 2010	-0,05	-0,06	0,20	-0,04

La isla de calor urbana de superficie y sus factores condicionantes:

El caso del área metropolitana de Santiago

## Capítulo 4

Días	RPC1	RPC2	RPC3	RPC4
22 de enero de 2010	0,04	0,02	-0,05	0,08
23 de enero de 2010	0,07	-0,04	-0,04	0,08
2 de febrero de 2010	-0,01	-0,05	0,06	0,20
9 de febrero de 2010	0,04	-0,01	0,00	-0,04
10 de febrero de 2010	-0,02	-0,05	0,06	0,24
21 de febrero de 2010	0,07	-0,02	-0,05	-0,01
24 de febrero de 2010	0,06	-0,04	-0,02	0,05
9 de marzo de 2010	-0,01	-0,04	0,12	-0,02
10 de marzo de 2010	0,04	0,00	-0,04	0,06
15 de marzo de 2010	0,04	-0,01	-0,02	0,03
16 de marzo de 2010	0,03	0,01	-0,06	0,15
20 de marzo de 2010	0,04	0,00	-0,02	0,00
24 de marzo de 2010	-0,05	-0,03	0,13	0,07
26 de marzo de 2010	0,07	-0,02	-0,03	-0,03
3 de abril de 2010	-0,03	-0,01	0,09	0,08
4 de abril de 2010	0,02	0,02	-0,05	0,15
5 de abril de 2010	0,02	0,04	-0,06	0,12
14 de abril de 2010	0,02	0,06	-0,05	0,01
15 de abril de 2010	-0,02	0,05	-0,04	0,22
22 de abril de 2010	-0,07	-0,02	0,12	0,19
8 de mayo de 2010	-0,02	0,07	-0,02	0,09
5 de junio de 2010	-0,04	0,16	-0,06	-0,03
6 de junio de 2010	-0,04	0,15	-0,07	0,06
25 de junio de 2010	-0,01	0,13	-0,04	-0,10
27 de junio de 2010	-0,02	0,12	-0,01	-0,13
28 de junio de 2010	-0,05	0,22	-0,03	-0,24
29 de junio de 2010	-0,04	0,16	-0,04	-0,08
18 de julio de 2010	-0,04	0,09	0,06	-0,20
20 de agosto de 2010	-0,05	0,15	-0,04	-0,01
25 de agosto de 2010	0,00	0,04	0,00	0,00
5 de septiembre de 2010	-0,08	0,12	0,09	-0,17
2 de octubre de 2010	-0,09	0,02	0,17	-0,05
25 de noviembre de 2010	0,05	-0,04	-0,02	0,09
5 de diciembre de 2010	0,09	0,00	-0,02	-0,22

Días	RPC1	RPC2	RPC3	RPC4
8 de diciembre de 2010	0,00	0,00	0,05	0,04
9 de diciembre de 2010	0,12	-0,04	-0,03	-0,26
13 de diciembre de 2010	-0,05	-0,09	0,20	0,01
14 de diciembre de 2010	0,05	0,00	0,00	-0,14
16 de diciembre de 2010	0,10	-0,03	-0,02	-0,19
19 de diciembre de 2010	0,09	-0,01	0,00	-0,33
20 de diciembre de 2010	-0,05	-0,05	0,12	0,22
21 de diciembre de 2010	0,10	-0,03	-0,03	-0,19
22 de diciembre de 2010	0,03	0,01	-0,06	0,16
24 de diciembre de 2010	0,07	-0,01	-0,01	-0,13
25 de diciembre de 2010	0,06	-0,08	0,05	-0,04
26 de diciembre de 2010	0,08	0,01	-0,05	-0,10

Fuente: Elaboración propia.

Los mapas de componentes principales rotados (ver figuras 4.16 a 4.19) muestran los patrones espaciales que finalmente serán interpretados. Es conveniente recordar que ellos explican el 90,65% de la varianza total. Cada uno de ellos será interpretado en concomitancia con las distribuciones de las puntuaciones de cada factor (previamente rotado) en el espacio, lo cual no necesariamente implica que valores altos se relacionen con mayor temperatura. Las configuraciones de los factores rotados se nominan de la siguiente manera:

- RPC1 (ver figura 4.16). Isla de calor urbana asociada a la cuña de las actividades industriales. Gran parte de la ciudad muestra valores altos de esta componente, pero, sin duda, es mayor en las comunas más ligadas a actividades industriales, localizadas de modo contiguo a la Panamericana, al norte de la comuna de Santiago, generando una dorsal que alcanza gran parte de la comuna de Colina.
- RPC2 (ver figura 4.17). Isla de calor del piedmont y cuña de población de altos ingresos económicos. El piedmont de la ciudad

(entre Pirque y Colina al Norte), además de las laderas de los cerros aislados y la Cordillera de la Costa, muestran valores altos del factor, al igual que las comunas donde se localizan las actividades de servicios, oficinas y la población de mayores ingresos económicos (Providencia, Las Condes, Vitacura). La mayor presencia de esta configuración es en el invierno, justamente cuando las brisas montaña valle se hacen más importantes.

- RPC3 (ver figura 4.18). Situaciones sin isla de calor urbana. Este factor indica que sus valores máximos y los de las temperaturas en el interior de la ciudad son notoriamente menores a los del sector periférico del Sur y Poniente, lo que, pese a ocurrir en pocos días distribuidos en todas las estaciones del año, no posee una variable que permita explicarlos (se ha revisado causas asociadas a los vientos regionales, circulación sinóptica, temperatura, humedad, nubosidad y nieblas).
- RPC4 (ver figura 4.19). Situación complementaria a los componentes principales rotados RPC1 y RPC2, es decir, bajo presencia de isla de calor urbana de superficie. Destaca el sur con una dorsal térmica y zonas más cálidas que la zona oriente de la ciudad, mientras que las comunas del norte, se muestran mucho más frías.

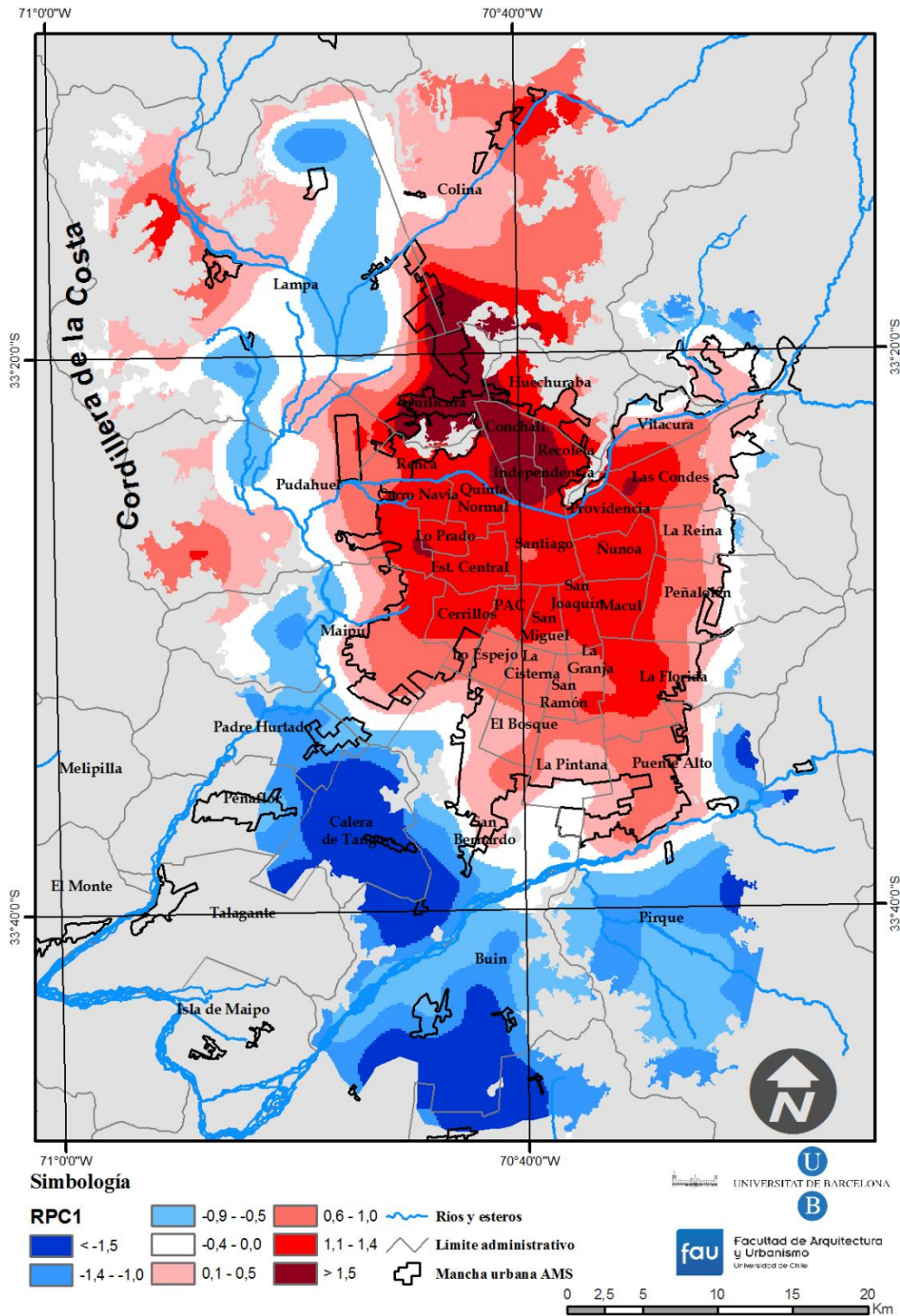


Figura 4.16. Mapa del factor 1 derivado del análisis de componentes principales.



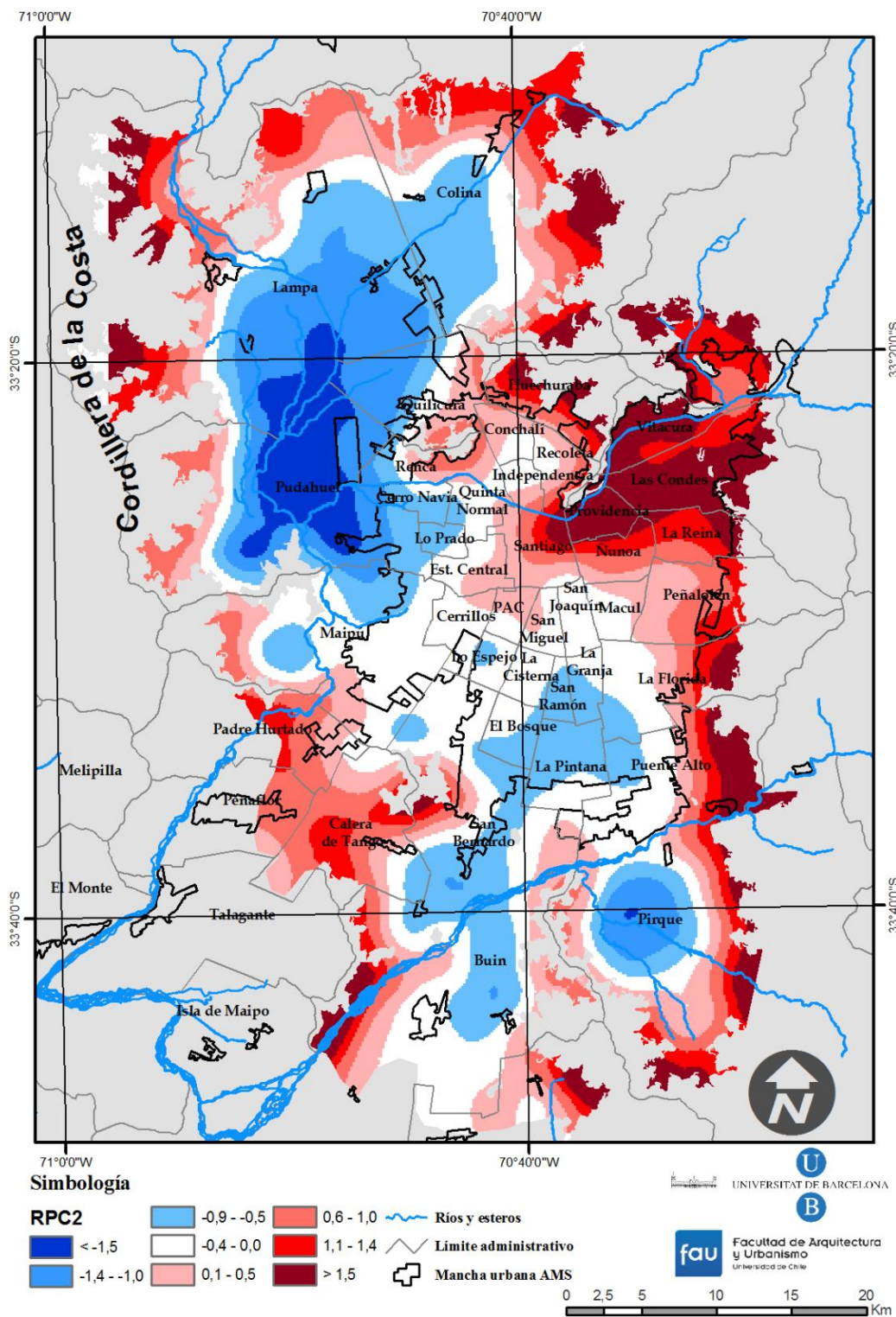


Figura 4.17. Mapa del factor 2 derivado del análisis de componentes principales.

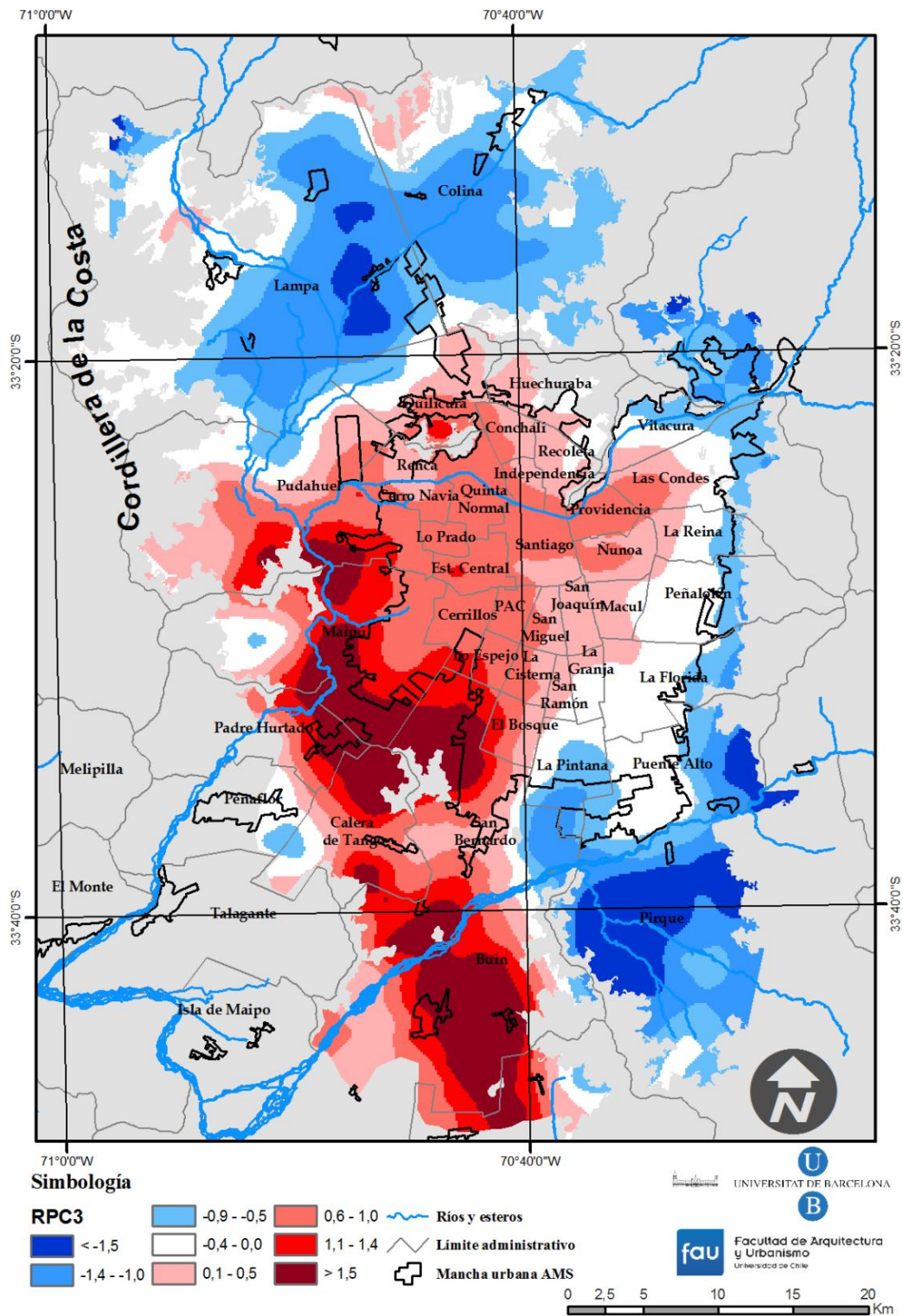


Figura 4.18. Mapa del factor 3 derivado del análisis de componentes principales.



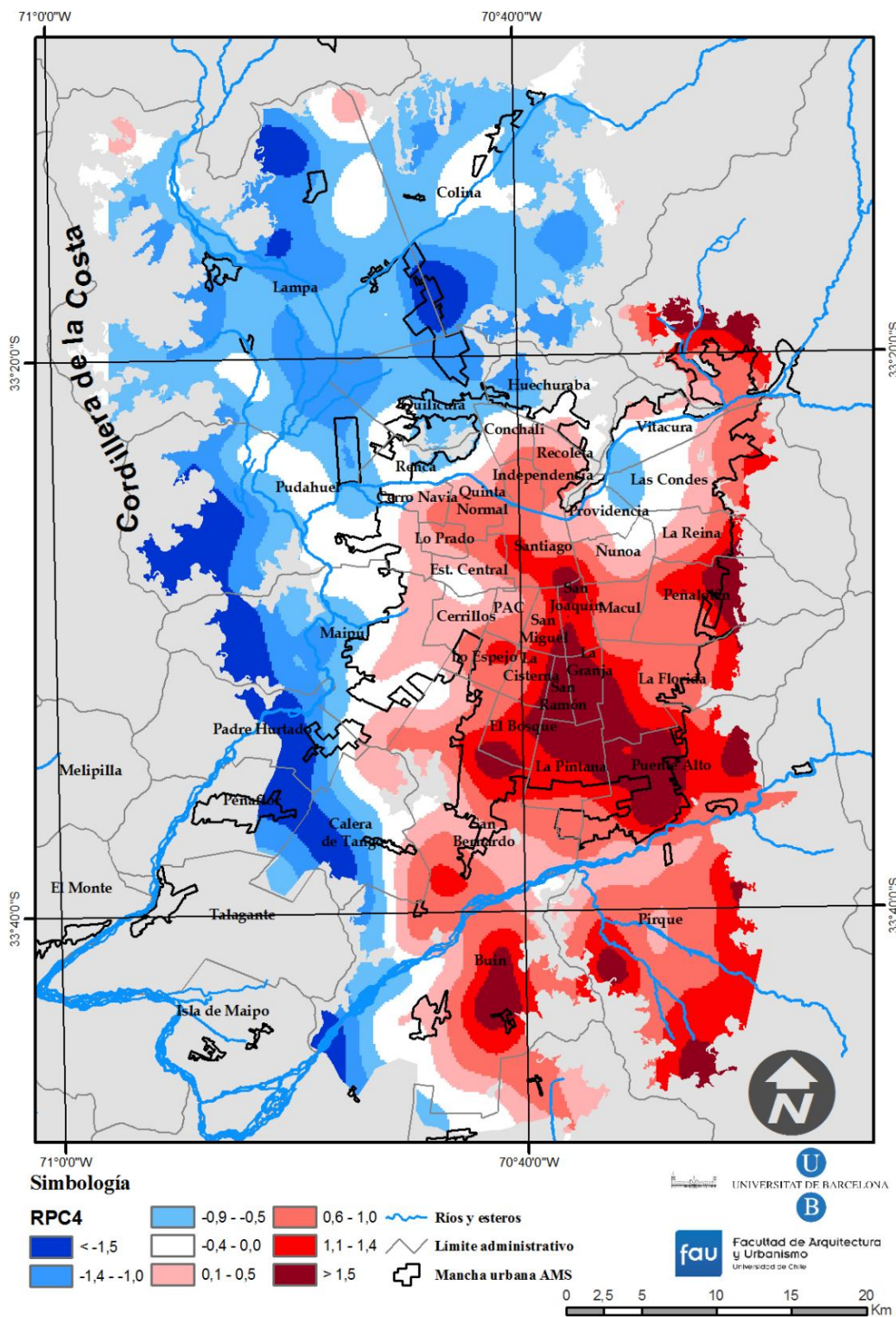


Figura 4.19. Mapa del factor 4 derivado del análisis de componentes principales.



#### *4.5. Discusión*

Una de las hipótesis de la Tesis señala que «el uso de la teledetección a una resolución espacial moderada es un procedimiento adecuado para el análisis y la caracterización espacial y temporal de la ICUs», lo que ciertamente se ha comprobado en este capítulo. Esto es así porque la teledetección permite un adecuado número de observaciones en una ciudad del tamaño del AMS. Efectivamente, son 1.800 observaciones puntuales, algo que sin duda es una cobertura densa, e imposible de conseguir a costos razonables a través de otros métodos, como transectos en automóvil o una red de estaciones fijas. No obstante, no es una escala adecuada para observar los cañones urbanos. Es decir, su resolución de 1 km permite cartografiar patrones de la isla de calor, tal y como se consigue con menor precisión con transectos o datos de observatorios meteorológicos, pero no así los microclimas urbanos, que sí se consigue con imágenes Terra ASTER. A continuación, en la figura 4.20 se muestra un ejemplo con estas imágenes en Santiago para una madrugada de 2006 (Sarricolea, 2010). Es posible apreciar en la figura 4.20 que las calles se muestran más cálidas, y que existe consistencia con los resultados de Terra MODIS.

La ciudad presenta la ICUs en las áreas más densamente construidas, y también en aquellas dedicadas a actividades industriales. Además, en la figura 4.20, de resolución 90 m, prácticamente todos los cañones urbanos de la ciudad son más cálidos que su entorno, tal como dice Eliasson (1994). Las áreas rurales se presentan más frías que la ciudad, con algunas excepciones, y los cursos de agua en la fecha de la observación también son más cálidos.

No obstante, hay asuntos referidos a la distribución de las temperaturas que aún no se han explicado de manera óptima. Uno de ellos tiene relación con patrones no esperados, y que, además, poseen una persistencia notable tanto en

espacio como el tiempo. Nos referimos al efecto que las laderas del norte ejercen sobre las temperaturas de emisión superficial, alcanzando valores próximos al centro urbano.

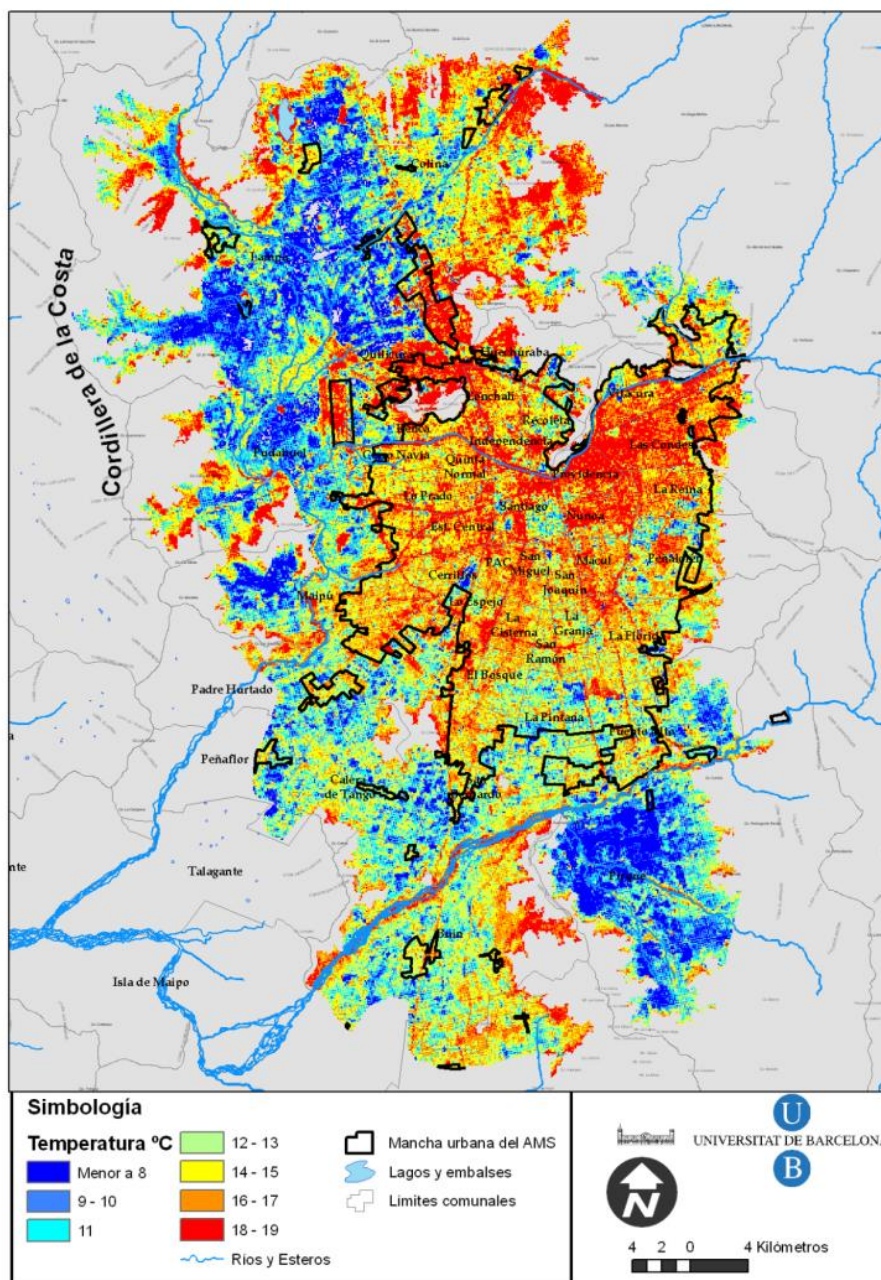


Figura 4.20. Temperatura de emisión superficial a las 0:00 a. m. del día 28/04/2006, en Sarricolea (2010) usando sensor Terra ASTER.

Más aún, las áreas del poniente en algunas noches también se presentan más cálidas que la ciudad, tal como confirma el ACP en su factor rotado RPC3. Una posible hipótesis que aquí proponemos es la retroalimentación del calor por efecto sumidero y la suma de las brisas campo-ciudad y la catabática. Esto se puede apreciar esquemáticamente en la figura 4.21, la cual muestra que la brisa de la Cordillera de Los Andes barre la ICU, y es relocalizada al poniente de la ciudad. El efecto sumidero de calor o «*urban heat sink*» (Carnahan y Larson, 1990) es similar a lo encontrado en la mañana para Santiago de Chile por Peña (2008), pero en nuestro caso es constatado en la noche, y asumiendo la convección de calor en el centro y su redistribución a la periferia poniente, lo que en días de contaminación por material particulado (PM10) tendría efectos nocivos sobre la salud de esta población.

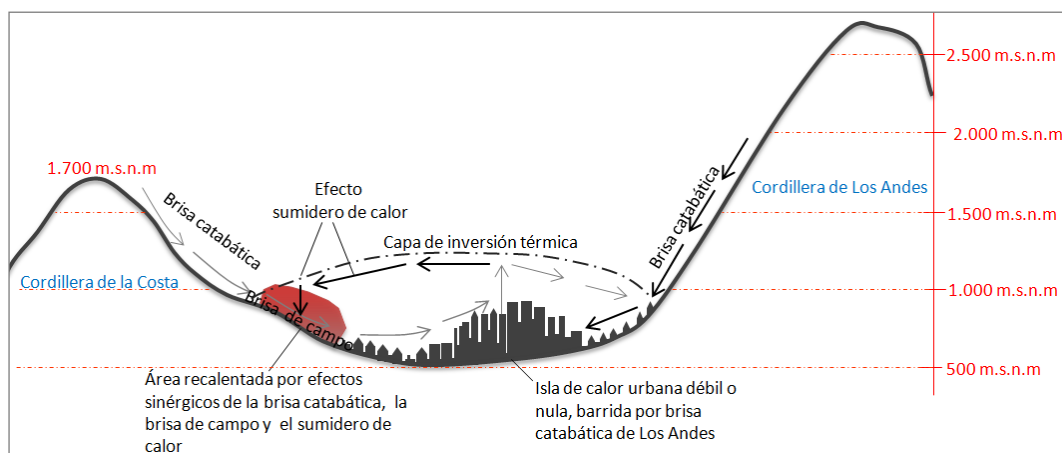


Figura 4.21. Esquema hipotético de días de débil ó nula ICU en la ciudad y sector poniente más cálido. Elaboración propia.

Para conocer de mejor manera la configuración de la isla de calor es fundamental contar con un buen modelo de los vientos, lo cual ya ha sido enunciado por Cuadrat *et al.* (2003 y 2005). Por ello, se propone generar en el futuro un modelo mesoescalar de vientos, similar al existente para Chile-Central, pero con la novedad de incorporar la parametrización del efecto urbano, tal como lo expone Martilli (2010) en el caso de Madrid. Por lo tanto, se espera desarrollar para

Santiago un modelo que permita mejorar el conocimiento del comportamiento del viento a las 0.00 a. m., pues el nivel de detalle actual es el que se muestra en la figura 4.22.

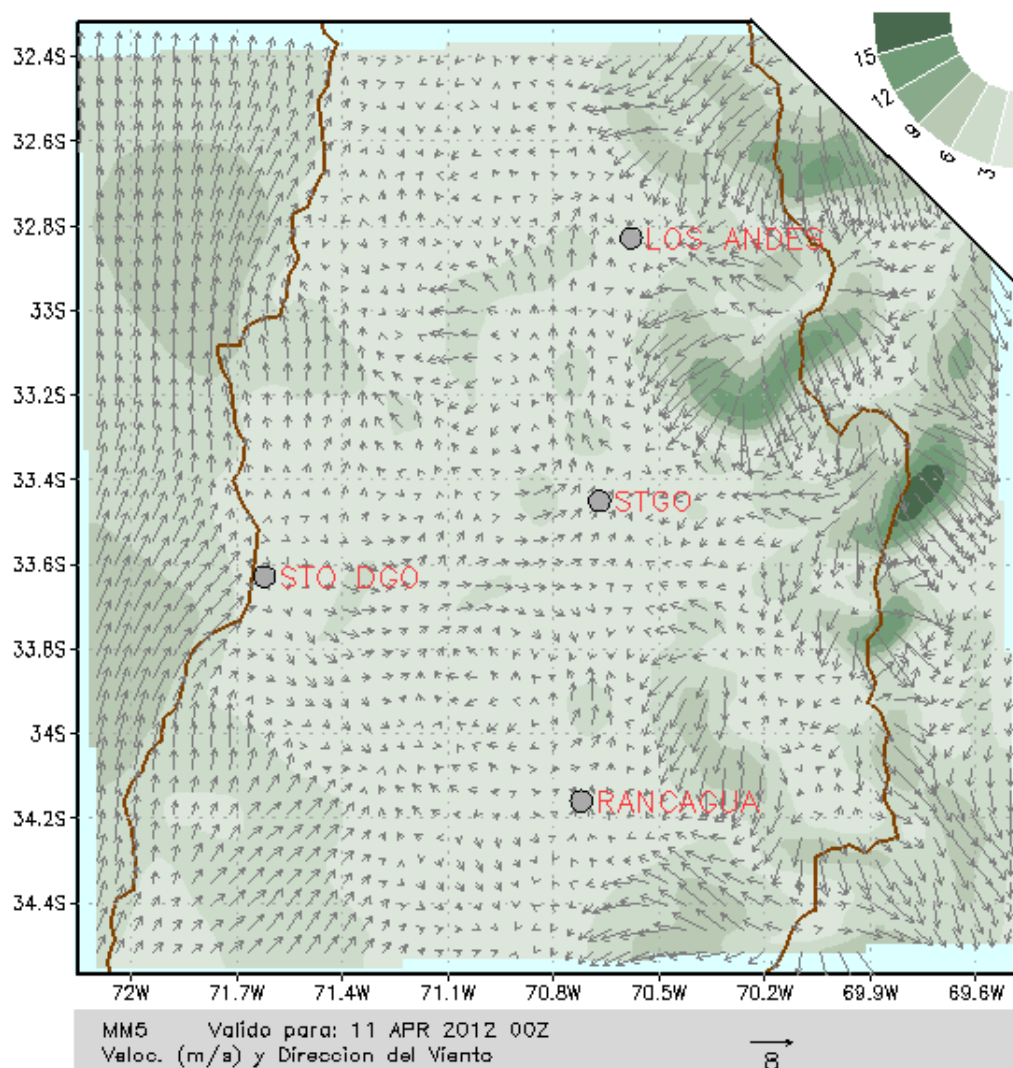


Figura 4.22. Dirección y velocidad del viento del 11 de abril de 2012 a las 0:00 a. m. Dominio de mayor detalle para Chile Central. Fuente: Dirección Meteorológica de Chile.

[http://www.meteochile.cl/modeloMM5dominio3\\_c.html](http://www.meteochile.cl/modeloMM5dominio3_c.html)

Respecto a la estacionalidad de la isla de calor, se han encontrado resultados inversos a los de la ciudad de Seúl (Kim y Baik, 2002), es decir, en promedio la

máxima intensidad de la ICUs en Santiago es más alta en verano y otoño, siendo relativamente débil en primavera e invierno. Esto puede deberse a que el calor antropogénico a la latitud de Santiago ( $33^{\circ} 30' S$ ) no suele superar el aporte energético de la radiación solar, a excepción del sector oriente, donde debe ser importante el uso de sistemas de calefacción y aire acondicionado por los hogares y las abundantes oficinas y actividades comerciales.

Uno de los asuntos que llama la atención es que el método de clasificación automática de J&C arroja 5 días de tipo ciclónico, para el conjunto de días analizado, de los cuales 4 son de ICUs muy fuerte (figura 4.23). Revisando los tipos de tiempo ciclónicos y sus híbridos nos encontramos con días de temperaturas superiores a  $26^{\circ}\text{C}$ , lo cual implica que son bajas térmicas. A su vez, los días de ICUs moderada se corresponden con días con altas térmicas (situaciones anticiclónicas de invierno).

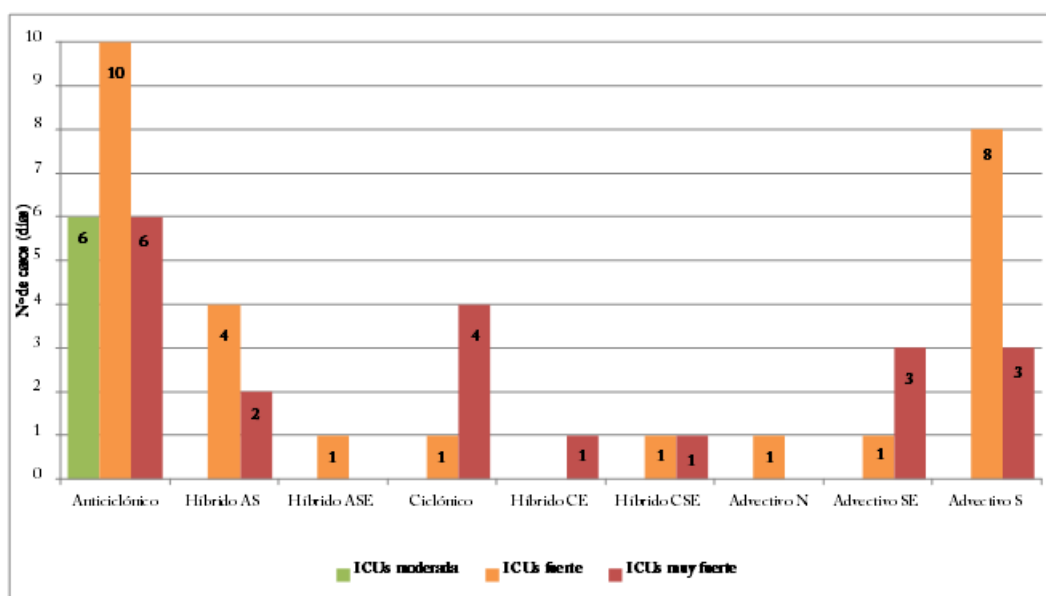


Figura 4.23. Número de días analizados con Terra MODIS según tipo de tiempo de J&C y categorías de ICUs.

#### 4.6. Bibliografía

Arnfield, J. (2003). Two Decades of Urban Climate Research: A Review of Turbulence, Exchanges of Energy and Water, and the Urban Heat Island. *International Journal of Climatology*, 1 (23), 1-26.

Carnahan, W., & Larson, R. (1990). An analysis of an urban heat sink. *Remote Sensing of Environment* (33), 65-71.

Cattell, R. (1996). The scree test for the number of factors. *Multivariate Behavioral Research*, 1, 245-276.

Cheval, A. (2009) The July urban heat island of Bucharest as derived from MODIS images. *Theoretical and Applied Climatology*, (96),145–153

Cuadrat, J., Saz, M., & Vicente-Serrano, S. (2003). *Surface wind direction influence on spatial patterns of urban heat island in Zaragoza (Spain)*. *Geophysical Research Abstracts*, 5: 02592. *European Geophysical Society*. Retrieved Agosto 14, 2007, from <http://www.cosis.net/>

Cuadrat, J., Vicente-Serrano, S., & Saz, M. (2005). Los efectos de la urbanización en el clima de Zaragoza (España): La Isla de Calor y sus factores condicionantes. *Boletín de la A.G.E.* (40), 311–327.

Eliasson, I. (1994). Urban-suburban-rural air temperature differences related to street geometry. *Physical Geography* (15), 1-22.

Jin, M., & Shepherd, J. (2005) Inclusion of urban landscape in a climate model. How can satellite data help?. *Bulletin of the American Meteorological Society* 86(5):681–689

Johnson, D. (1985). Urban modification of diurnal temperature cycles in Birmingham, U.K. *International Journal of Climatology* 5: 221–225,

Kaiser, H. (1958). The Varimax criterion for analytic rotation in factor analysis. *Psychometrika*, 23, 187-200.

Kaiser, H. (1960). The application of electronic computers to factor analysis. *Educational and Psychological Measurement*, 20, 141-151.

Karl, T., Diaz, H., & Kukla, G. (1988). Urbanization: Its Detection and Effect in the United States Climate Record. *Journal of Climate*, 1:1099-1123.

Kim, Y., & Baik, J. (2002). Maximum Urban Heat Island Intensity in Seoul. *Journal of Applied Meteorology* (41), 651-659.

Kukla, G., Gavin, J., & Karl, T. (1986). Urban Warming. *Journal of Climate and Applied Meteorology*. 25:1265-1270.

Martilli, A. (2010). Modelización del clima urbano a mesoescala. En *VII CONGRESO AEC. Clima, ciudad y ecosistemas. Cambio climático e impacto en países ibéricos e iberoamericanos*. Madrid

Nichol, J. (1994). A GIS-based approach to microclimate monitoring in Singapore's high-rise housing estates. *Photogrammetric Engineering and Remote Sensing* (60), 1225-1232.

Oke, T., & Voogt, J. (1997). Complete urban surface temperatures. *Journal of Applied Meteorology*, 9 (36), 1117-1132.

Peña, M. (2008). Relationships between remotely sensed surface parameters associated with the urban heat sink formation in Santiago, Chile. *International Journal of Remote Sensing*, 29 (15), 4385-4404.

Rajasekar, U., & Weng, Q. (2008). Urban heat island monitoring and analysis using a non-parametric model: A case study of Indianapolis. *ISPRS Journal of Photogrammetry and Remote Sensing* 64: 86–96.

Sarricolea, P. (2010). *Climatología urbana mediante el uso de la teledetección: aportaciones a la planificación territorial y gestión ambiental del área metropolitana de Santiago*. Universitat de Barcelona, Departamento de Geografía Física y A.G.R. Barcelona: Inédita.

Streutker, D. (2003). Satellite-measured growth of the urban heat island of Houston, Texas. *Remote Sensing of Environment*, 85: 282–289,

Torok, S, Morris, C., Skinner, C., & Plummer, N. (2001). Urban heat island features of southeast Australian towns. *Australian Meteorological Magazine* 50: 1–13.

Voogt, J., & Oke, T. (2003). Thermal Remote Sensing of Urban Climates. *Remote Sensing of Environment* (86), 370-384.

Wan, Z. (2007). *Collection-5. MODIS Land Surface Temperature Products Users' Guide*. Retrieved Noviembre 22, 2010, from ICESSE, University of California, Santa Barbara:  
[http://www.icesse.ucsb.edu/modis/LstUsrGuide/MODIS\\_LST\\_products\\_Users\\_guide\\_C5.pdf](http://www.icesse.ucsb.edu/modis/LstUsrGuide/MODIS_LST_products_Users_guide_C5.pdf)



Weller, J., & Thornes, J. (2001). An investigation of winter nocturnal air and road surface temperature variation in the West Midlands, UK under different synoptic conditions. *Meteorological Applications* 8:461–474

Weng Q. (2009). Thermal infrared remote sensing for urban climate and environmental studies: Methods, applications, and trends. *ISPRS Journal of Photogrammetry and Remote Sensing* 64: 335–344.